



Agrometeorologija

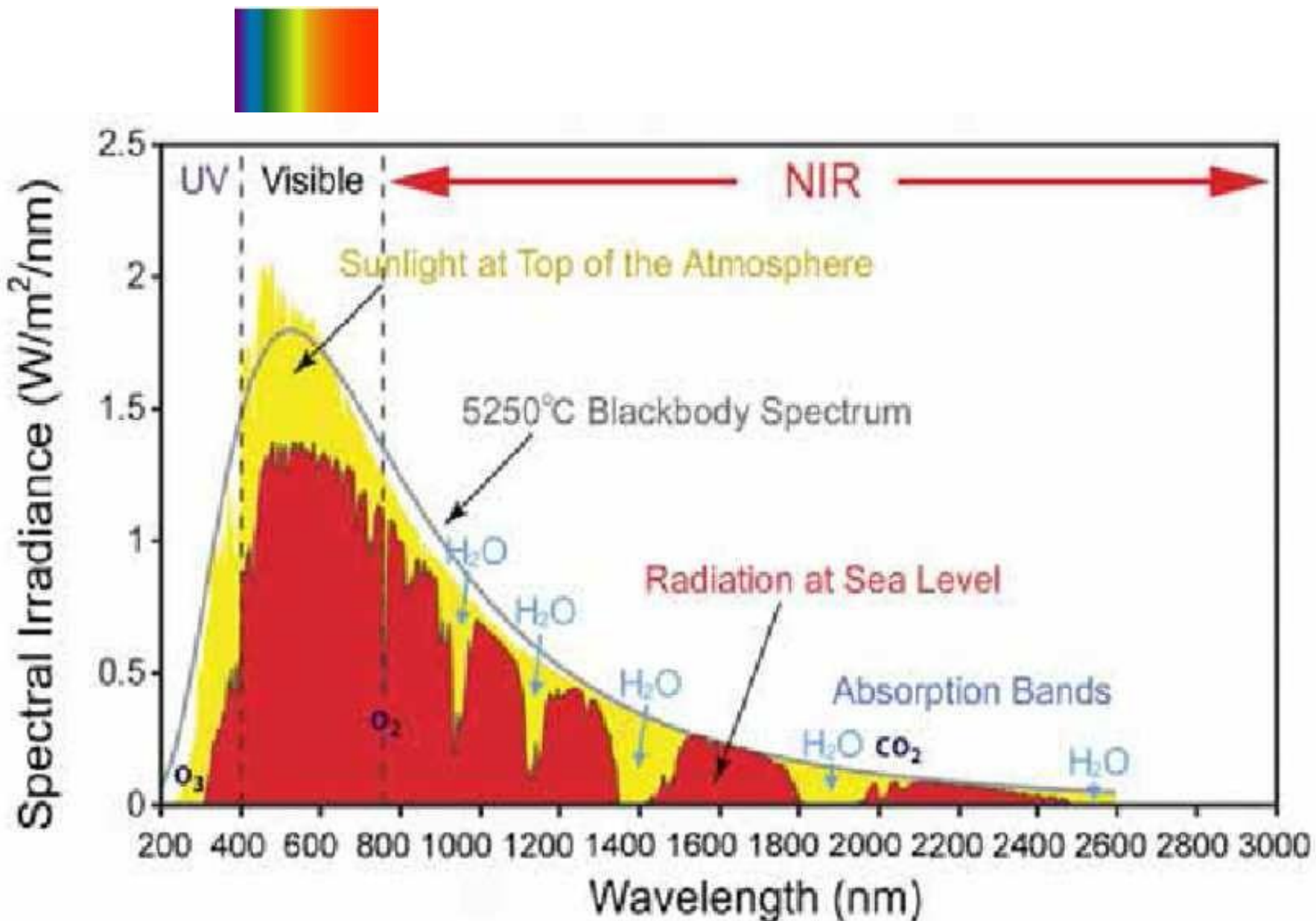
Mjerenje sunčevog zračenja u polju i daljinska detekcija

Šta je sunčeve zračenje

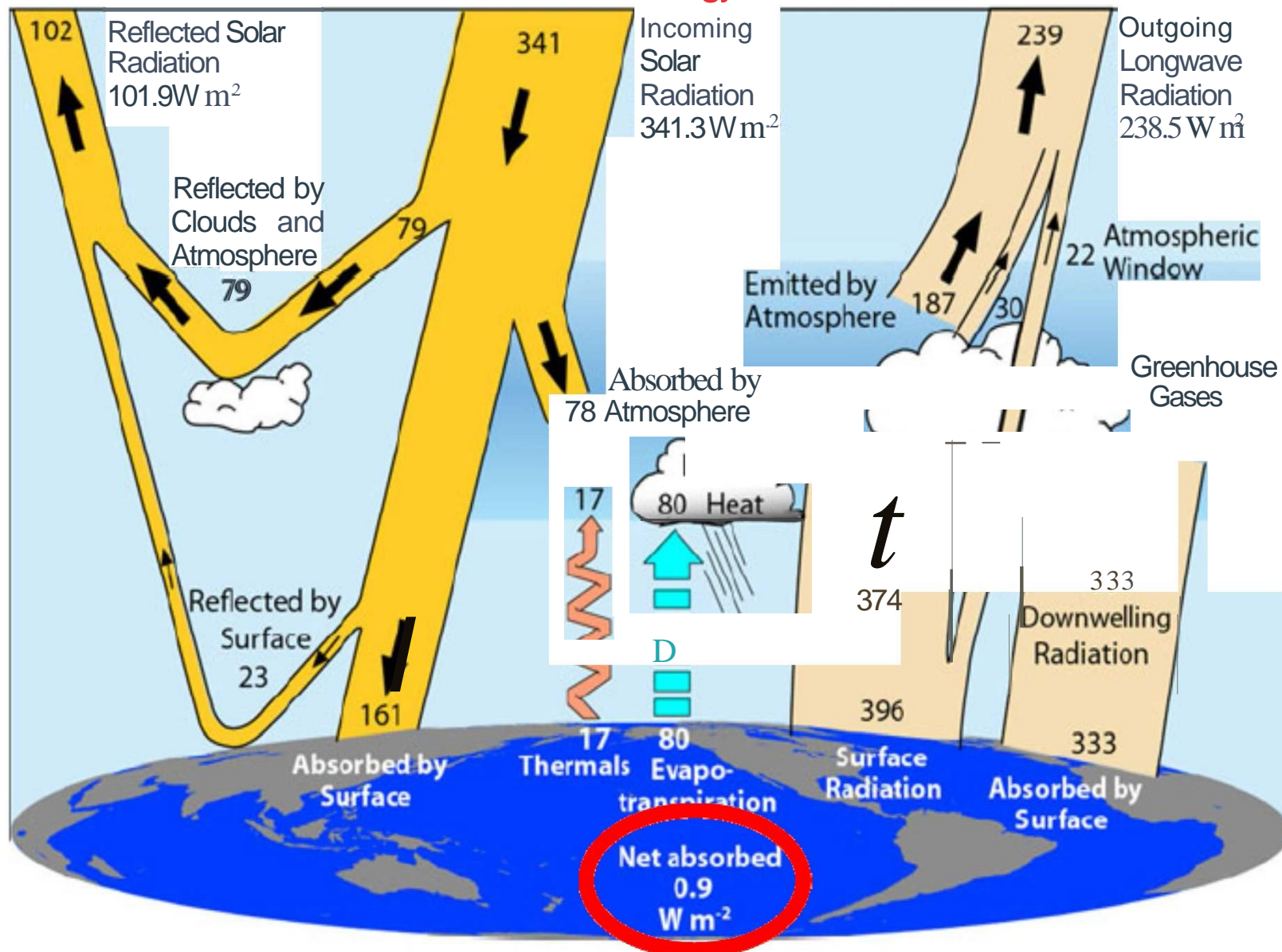
- 1) Energija koju emituje sunce u obliku elektromagnetnih talasa, uključujući vidljivi, ultraljubičasti i infracrveni deo spektra.
- 2) Energija koju emituje sunce u obliku fluksa fotona, koji predstavlja broj fotona po jedinici površine po jedinici vremena.

1. Uvod

Spektar sunčevog zračenja (Möller, 1973)

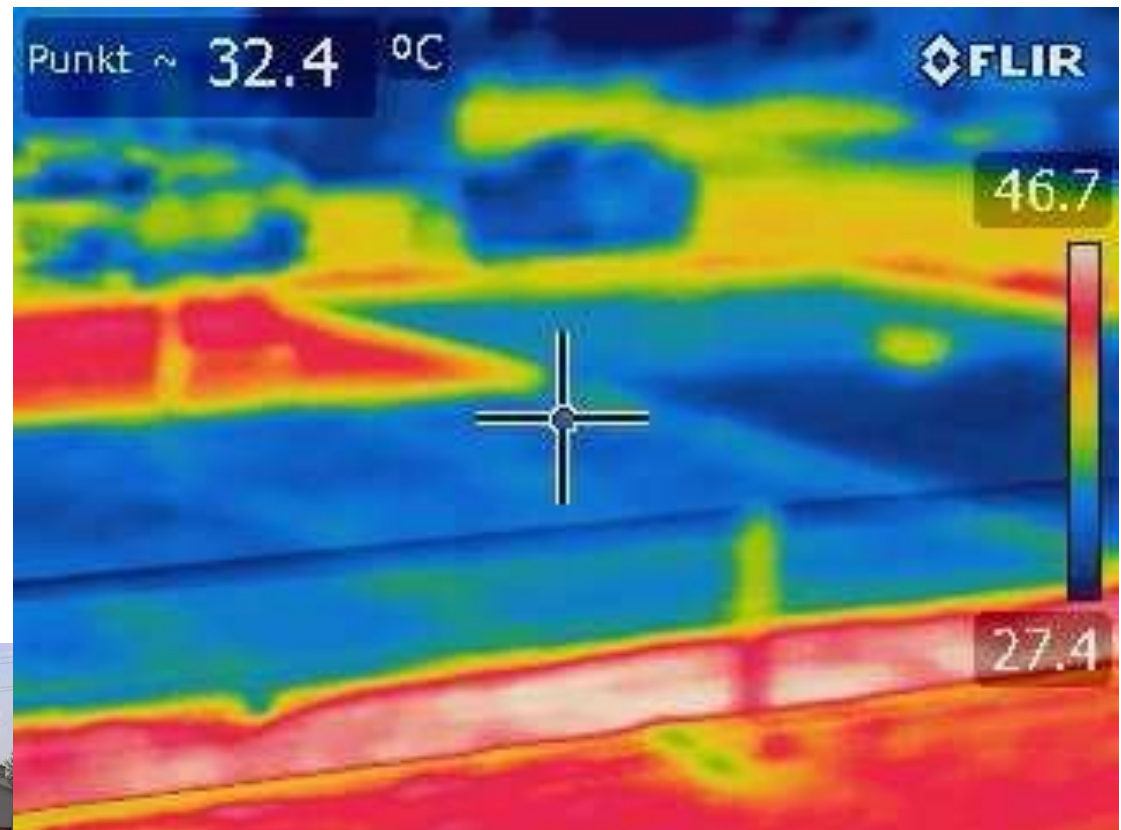
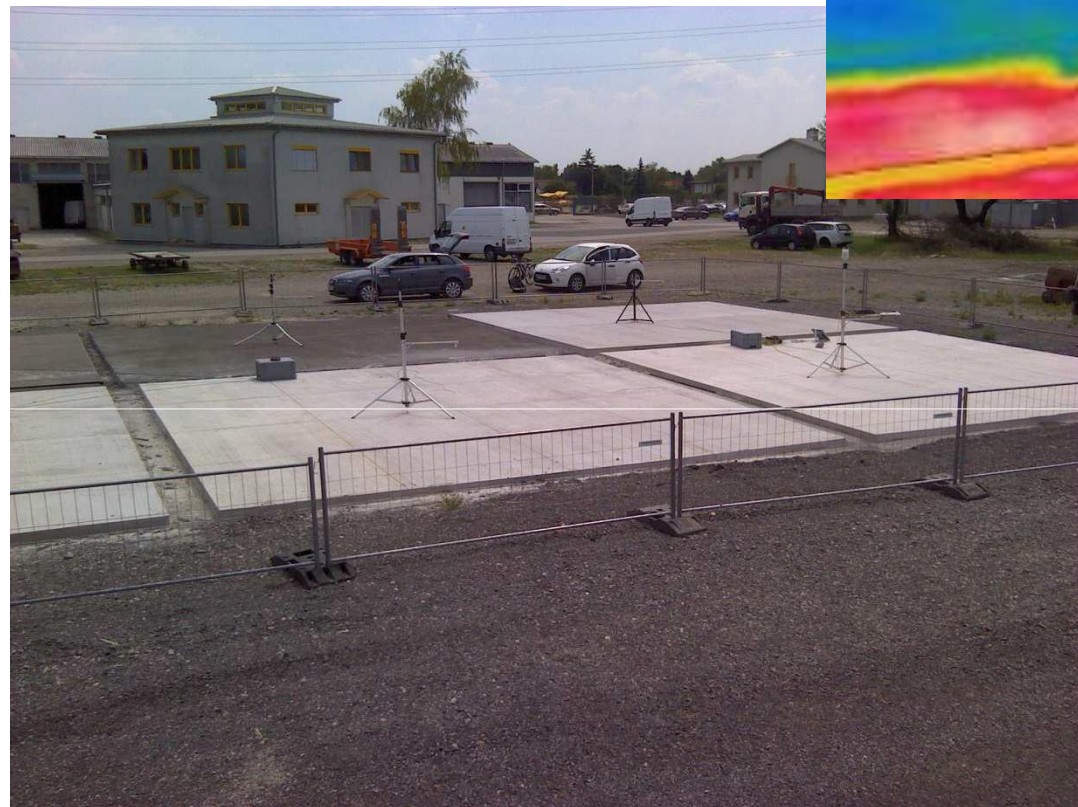


Global Energy Flows W m⁻²



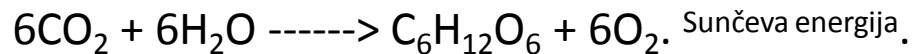
i. 1 The global annual mean earth system energy budget for 2000-2005 W m⁻². The broad arrows indicate the schematic flow of energy in proportion to their importance. Adapted from Trenberth et al. (2009) with changes noted in the text

Termalno IR merenje
17. Jul, 2014 11:46 MET



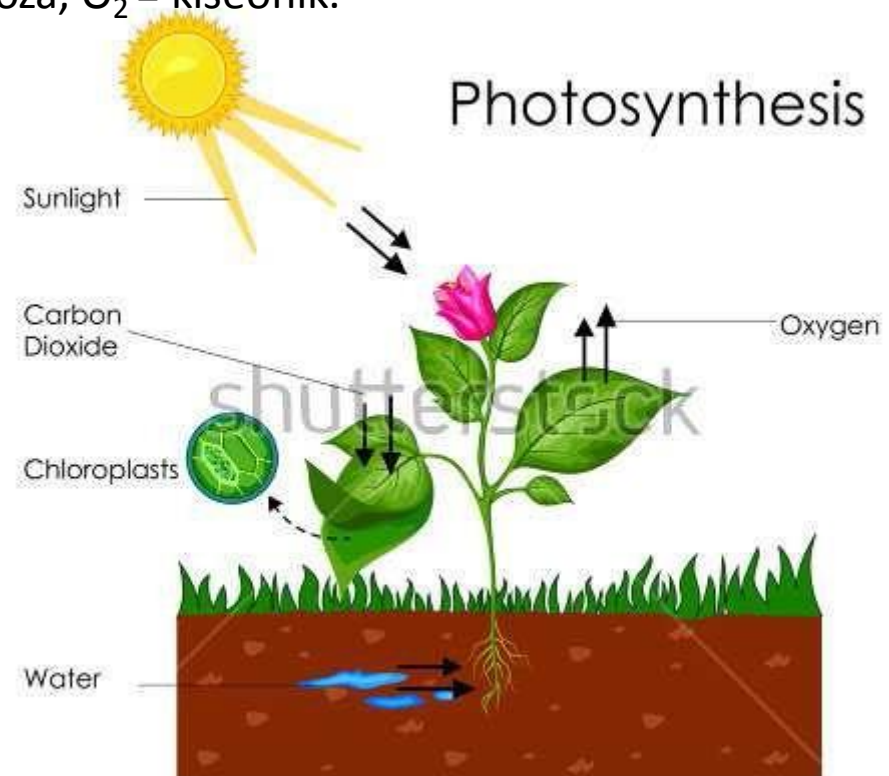
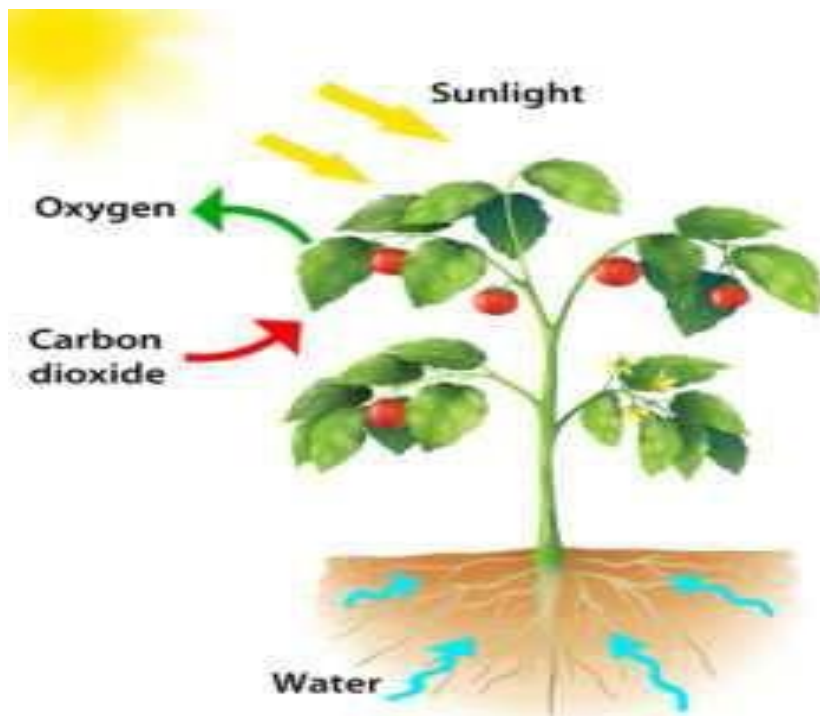
Fotosinteza:

Proces u kom biljke i neki drugi organizmi koriste sunčevu svetlost kako bi sintetisali nutrijente iz ugljen dioksida i vode. Fotosinteza kod biljaka uključuje učešće zelenog pigmenta hlorofila i tokom nje dolazi do stvaranja kiseonika kao sporednog produkta.

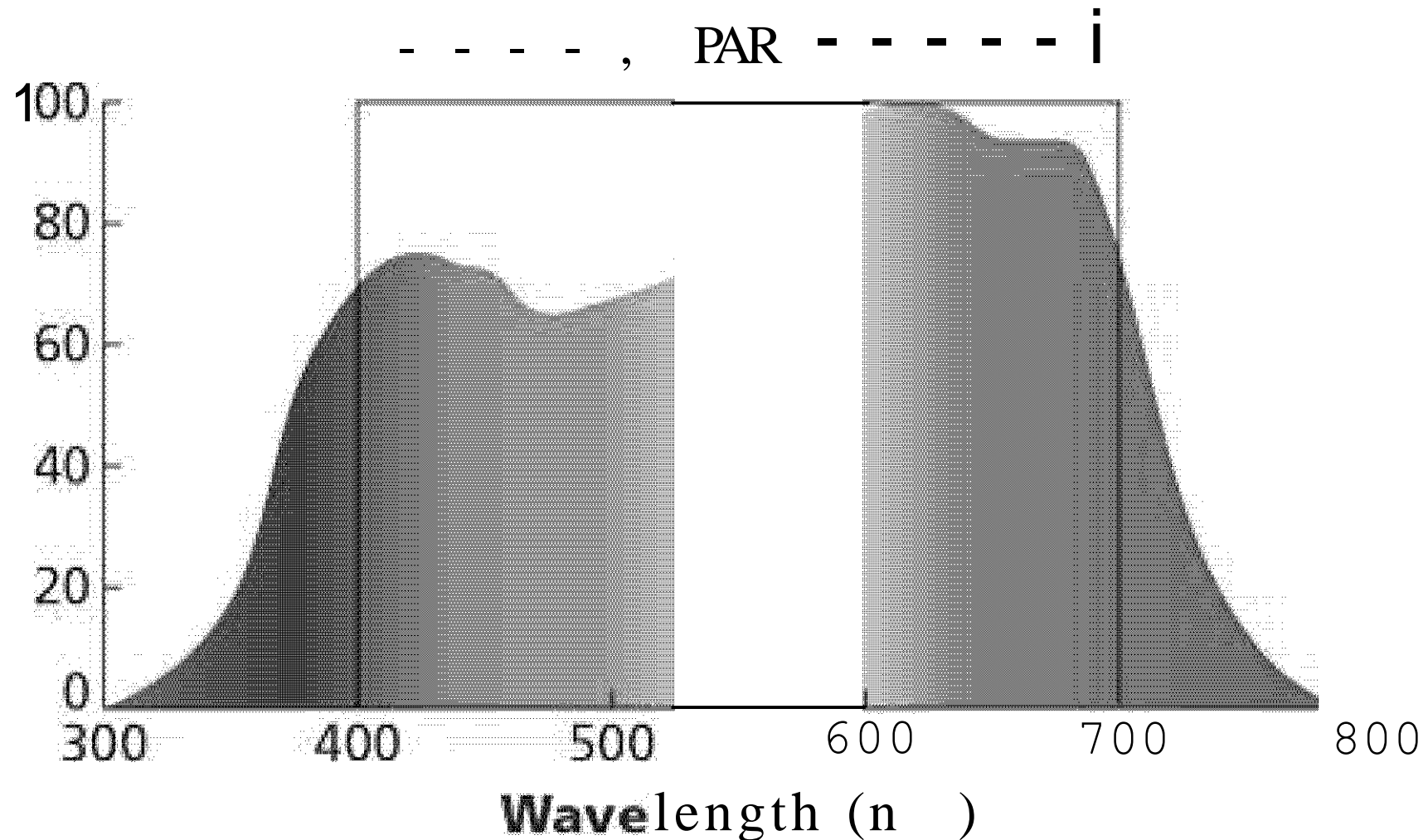


Gde je: CO_2 = ugljen dioksid, H_2O = voda,

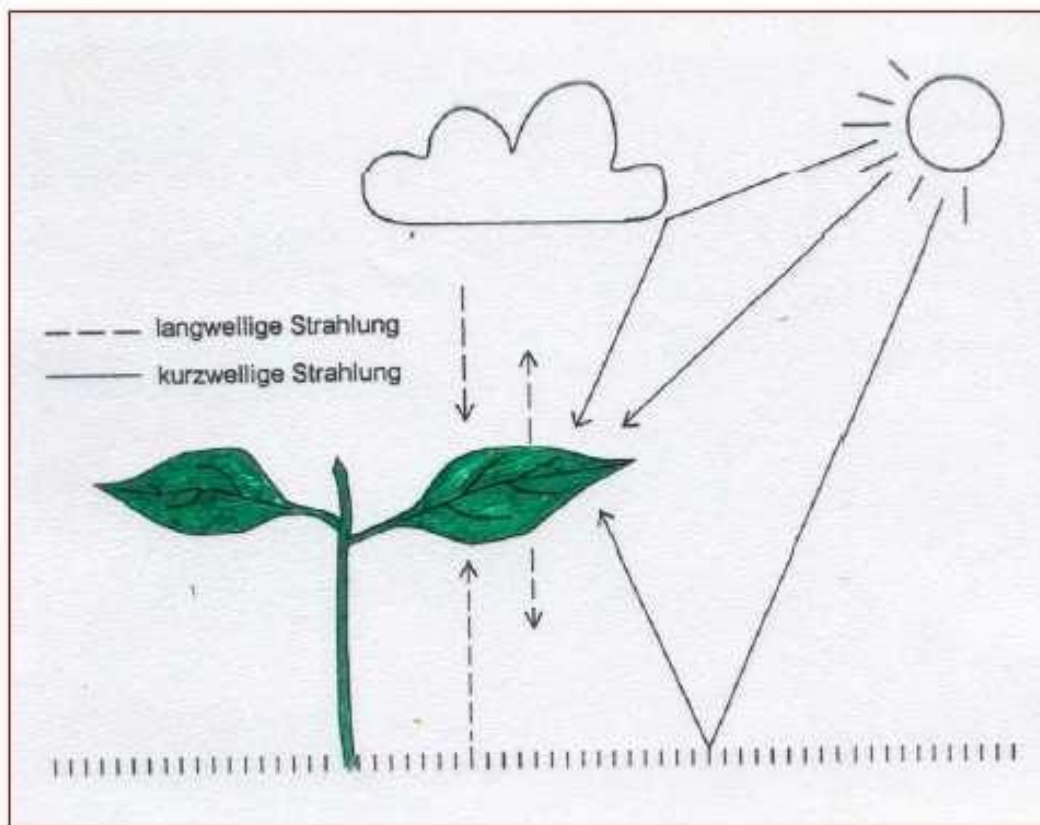
Neophodna je svetlosna energija, $\text{C}_6\text{H}_{12}\text{O}_6$ = glukoza, O_2 = kiseonik.



Relative photosynthetic
efficiency (%)



Pojedinačna biljka obuhvaćena radijacijom



Reflexion: 6-10%

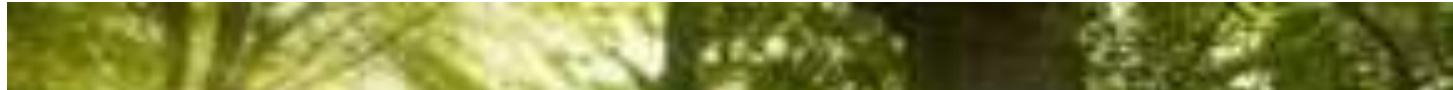
Refleksija

Absorption: 60-80%

Apsorpcija

Transmission: 10-20 %

Transmisija



Direktno sunčev zračenje: Senčenje, transmisija kroz lišće i apsorpcija na listovima.

Difuzno zračenje: Refleksija na lišću i granama, rasejanje u vazduhu, npr. na kapljicama vode.



Transfer zračenja kroz krošnju

Rasejanje

Fotoni menjaju pravac. Ne postoji transformacija energije

Refleksija (Albedo):
Reflektovano zračenje

Apsorpcija:

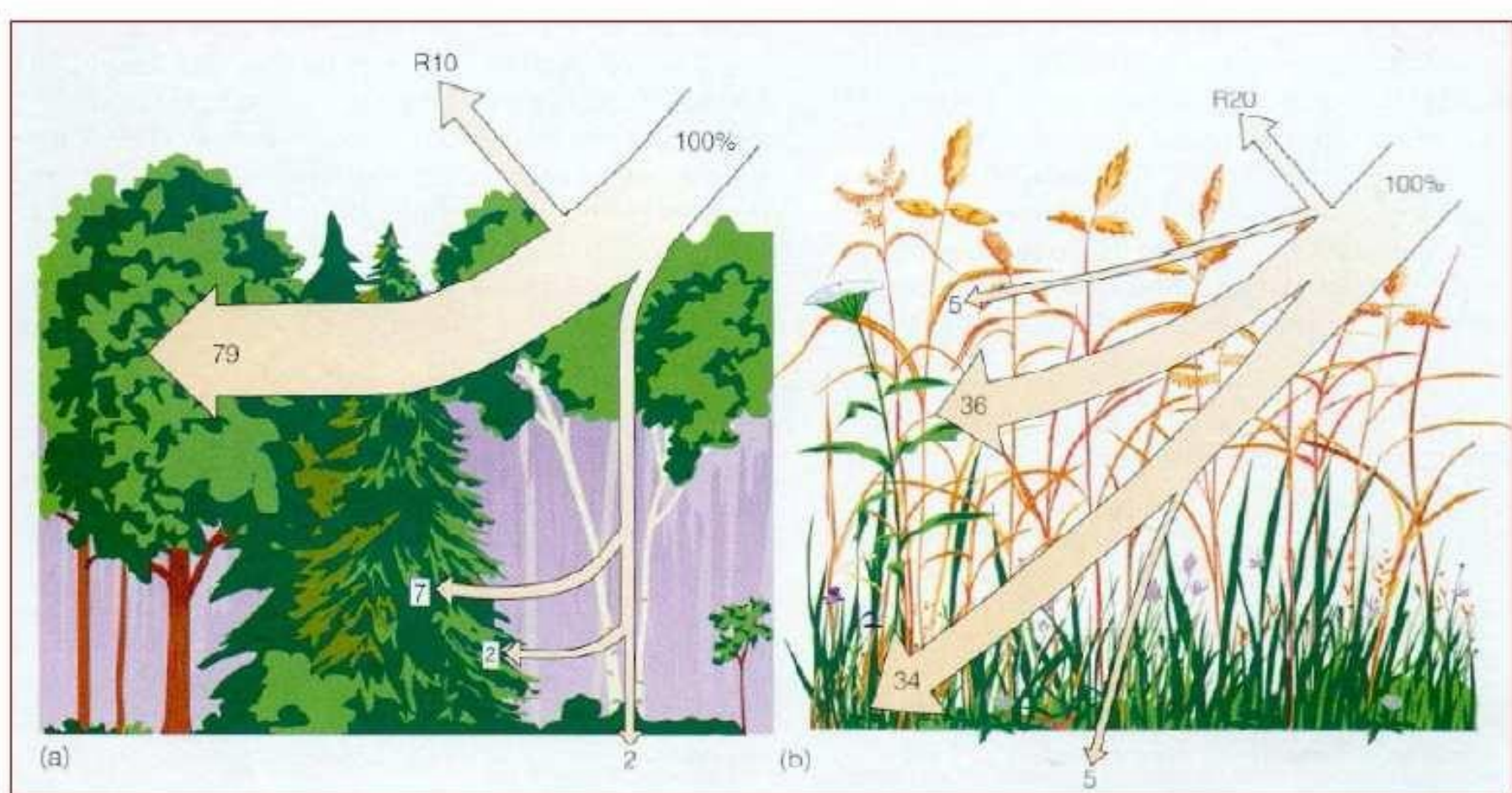
Energija zračenja transformisana u toplotnu, ili hemijsku energiju

Transmisija:

Deo sunčevog zračenja koje se probija



Raspodela zračenja u biljnom sklopu

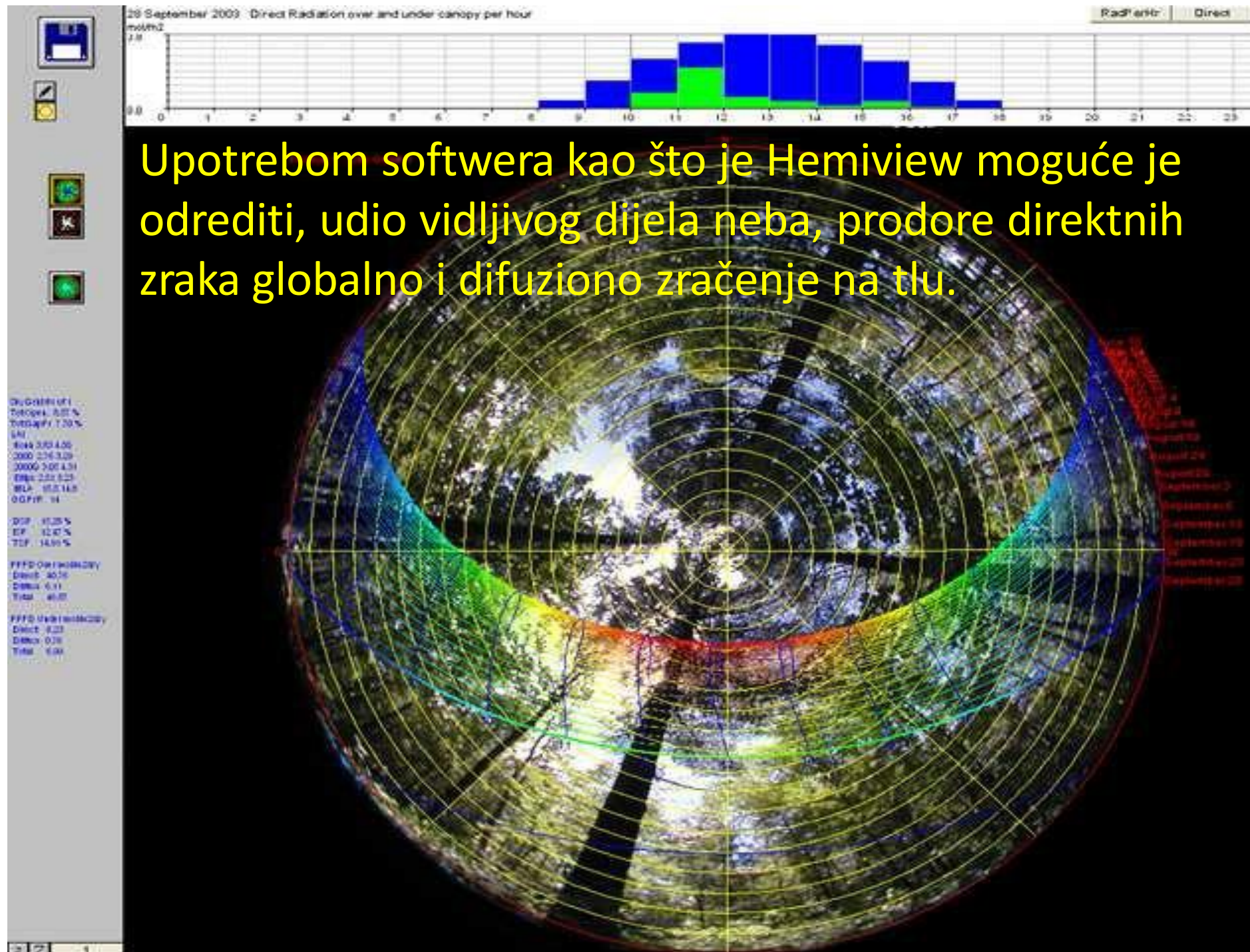


Nach Larcher, 2001

Metoda za analizu nehomogenosti u polju zračenja u krošnji uz pomoć kamere „riblje oko“

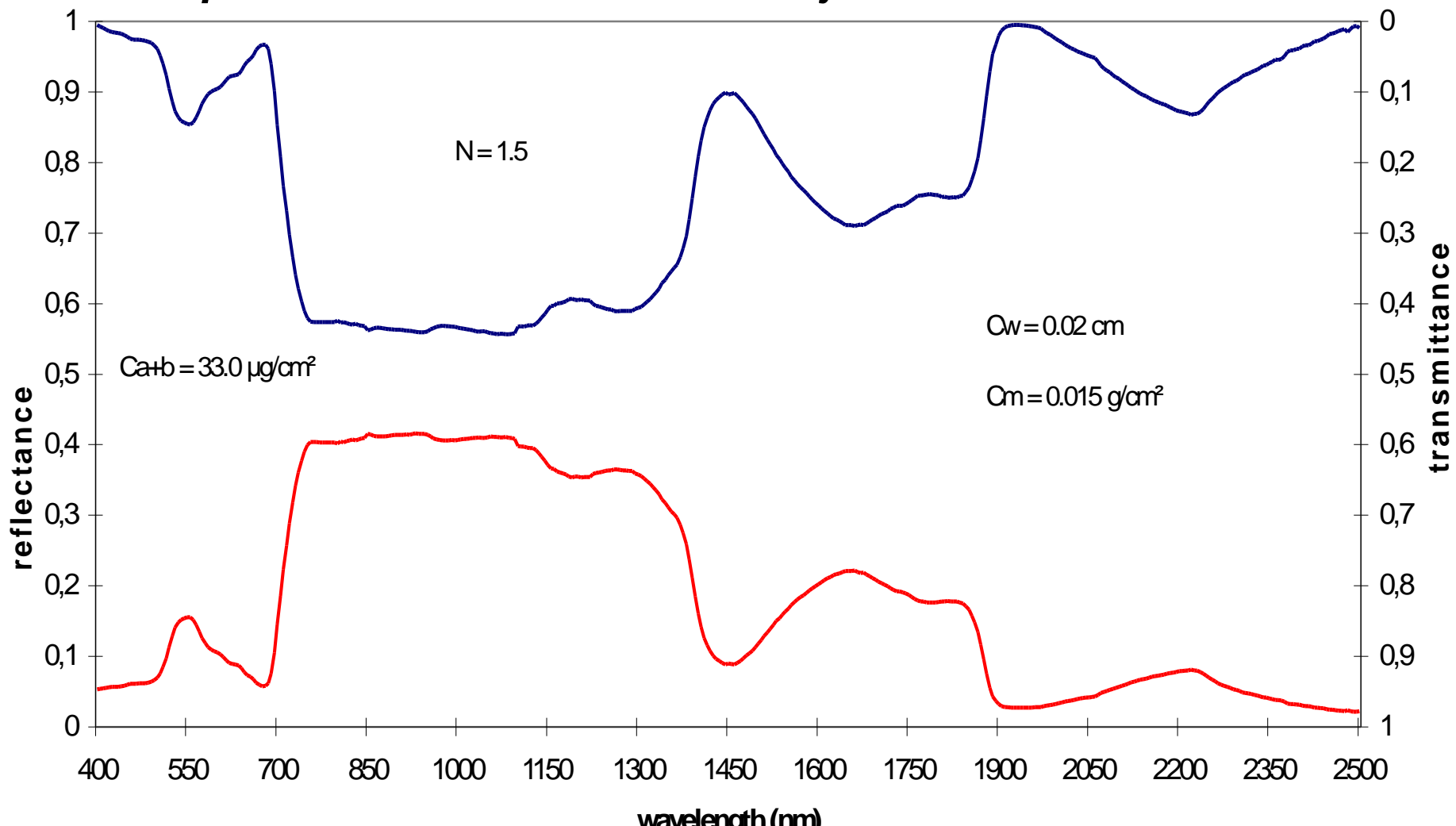






Spectral reflectance and transmittance for a standard leaf
(Ceccato et al., 2001)

Spektar reflektivnosti i transmisije na standardnom listu.



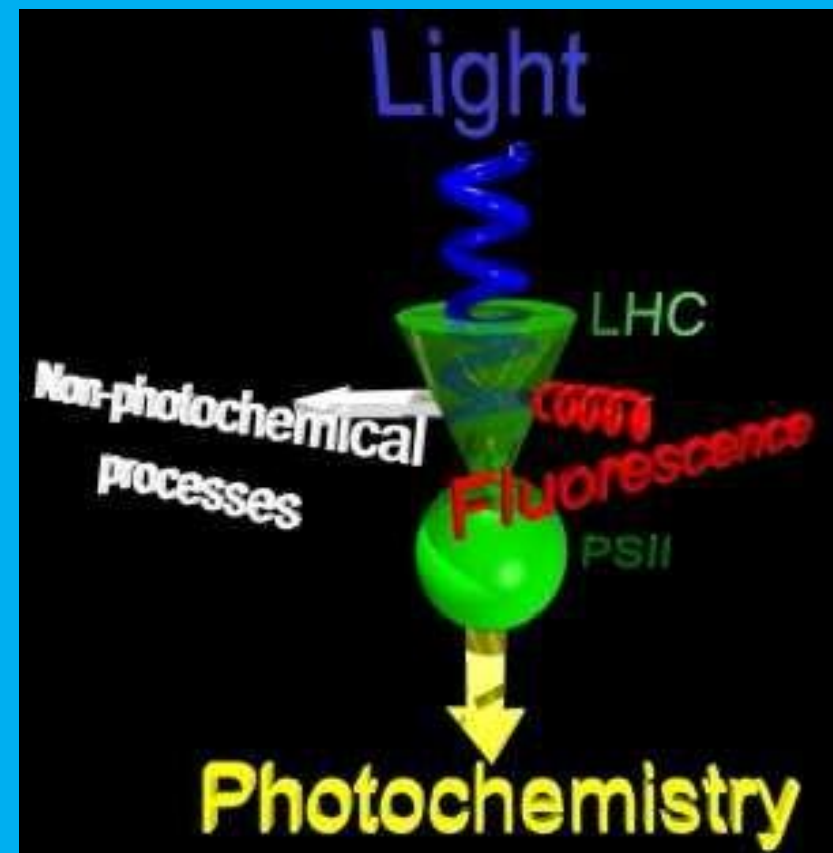
— reflectance — transmittance

Fluorescencija hlorofila

Postoji kompeticija između

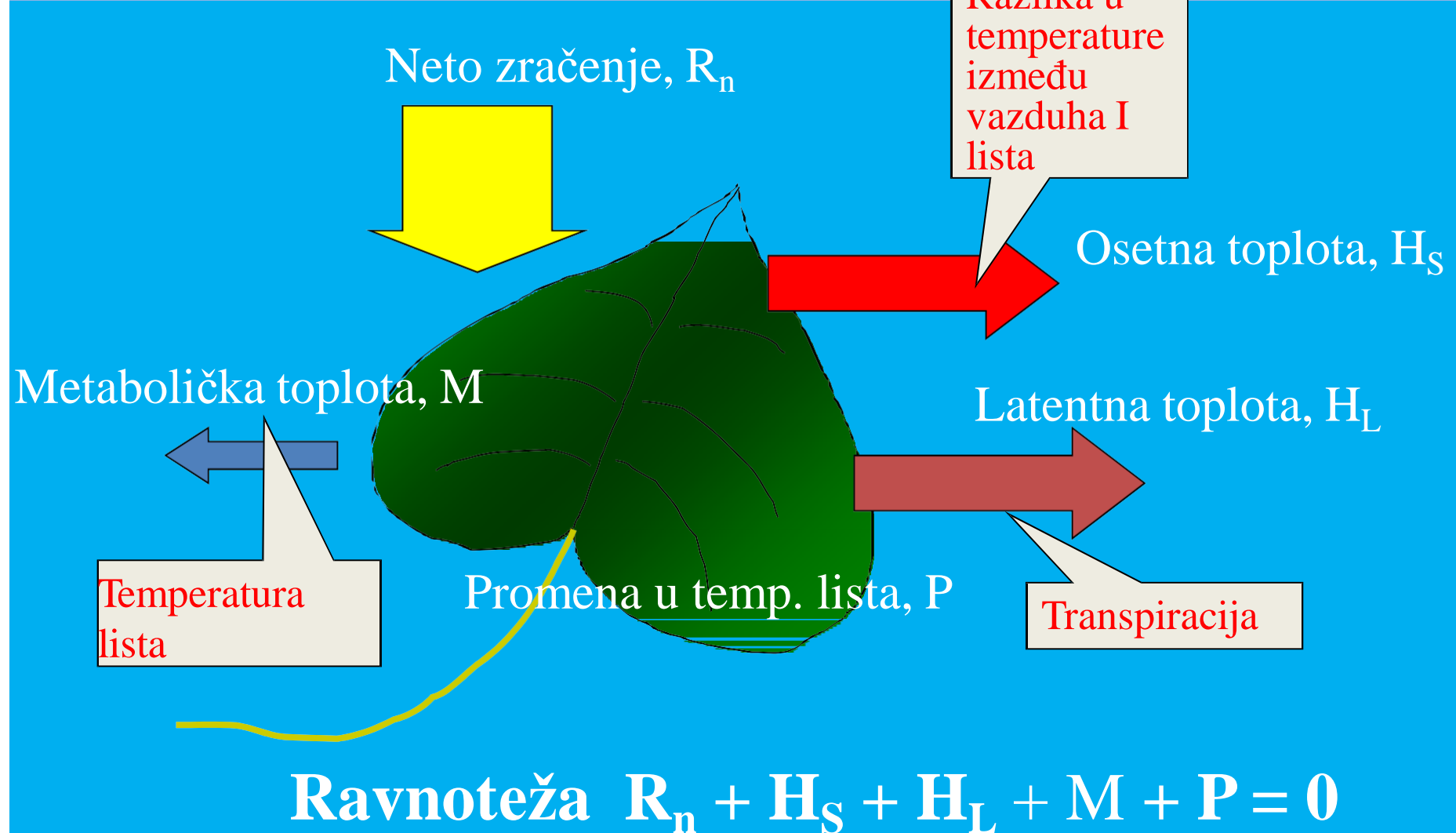
- Fotohemičkih procesa,
- Nefotohemičkih procesa i
- fluorescencije.

Signal suncem-indukovane fluorescencije je preslab da bi se uočio pomoću dnevnih satelitskih senzora zbog S/N-problema.



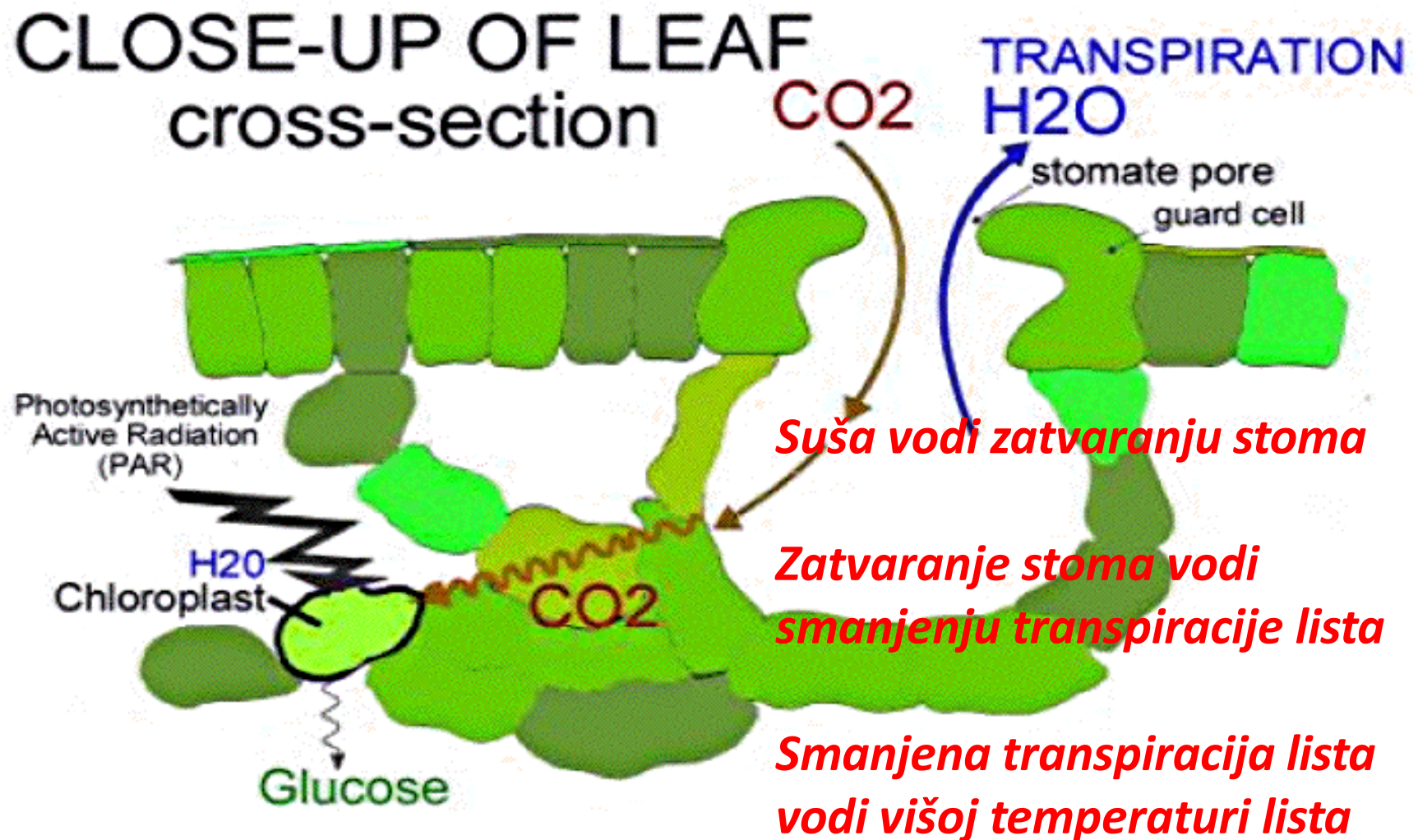
Termalna radijacija: Temperatura lista

Chieri Kubota



Remote sensing vegetacije:

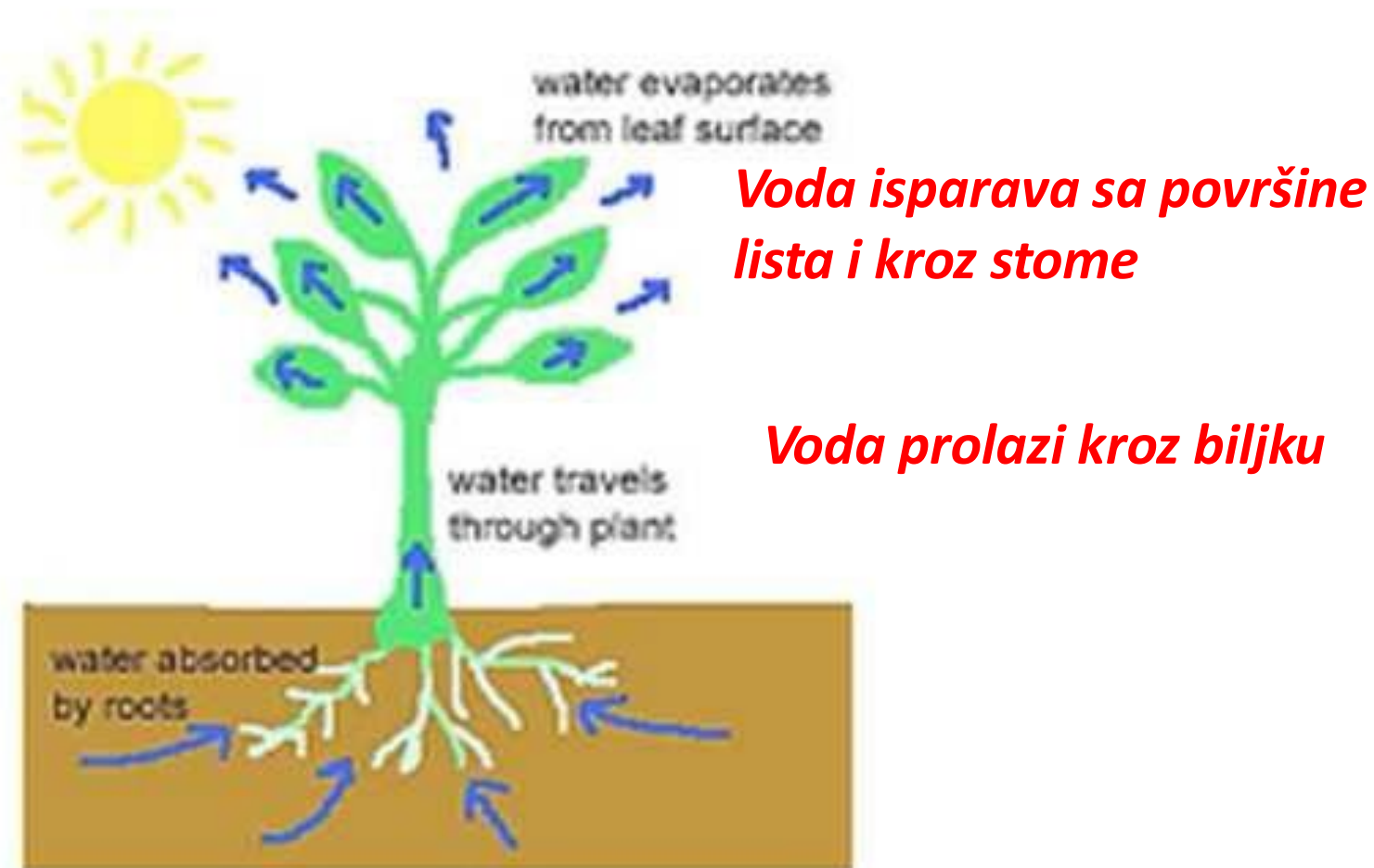
Emitovanje toplote



Remote sensing vegetacije:

Emitovanje toplote

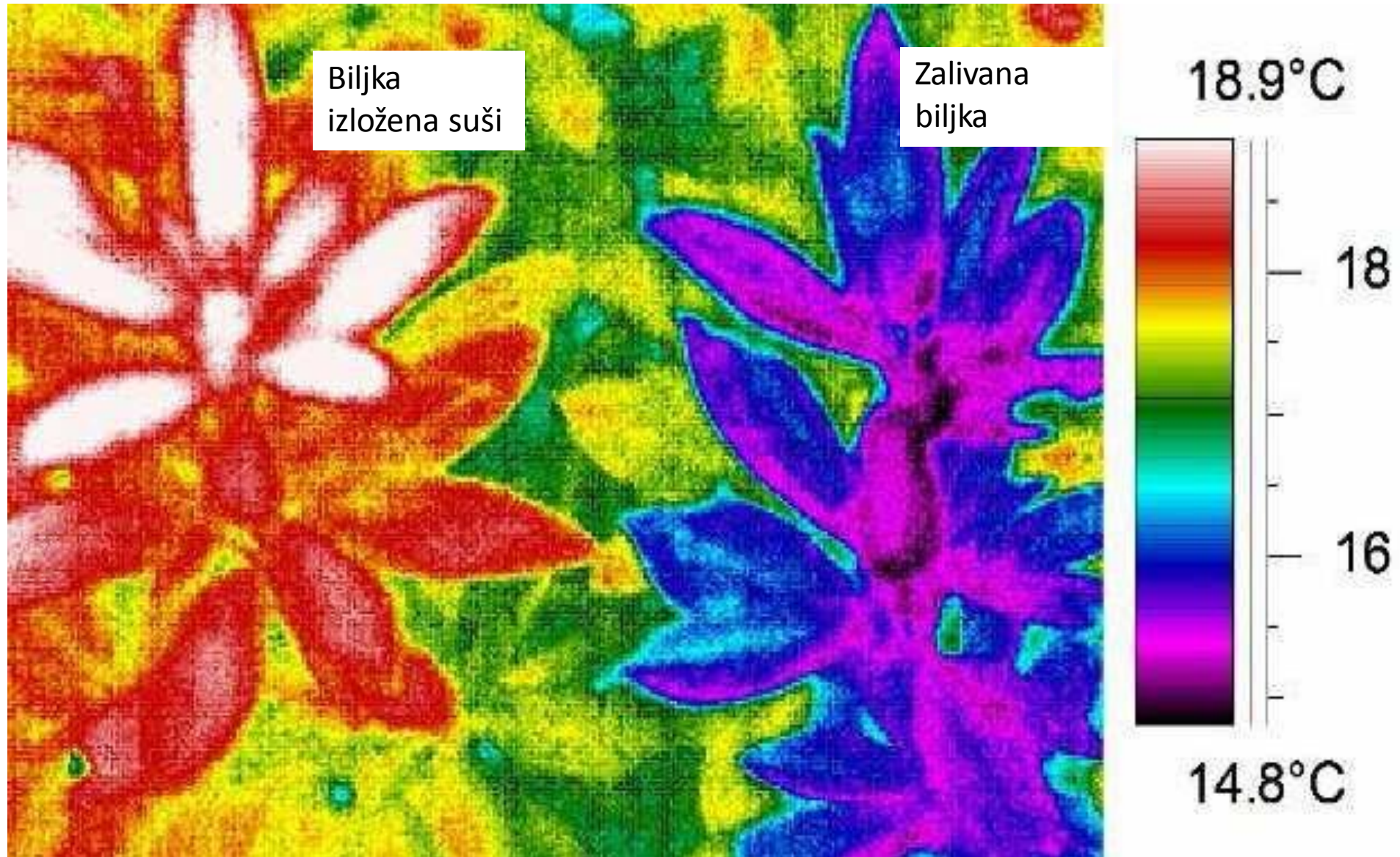
Figure 2: Water Transpiration and Mass Flow



Biljka vodu apsorbuje korenovim sistemom.

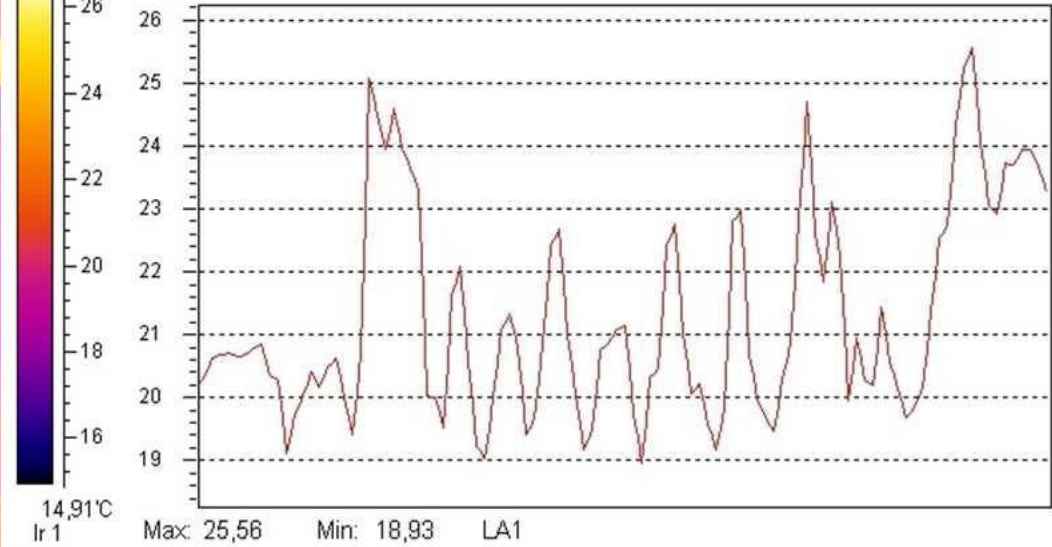
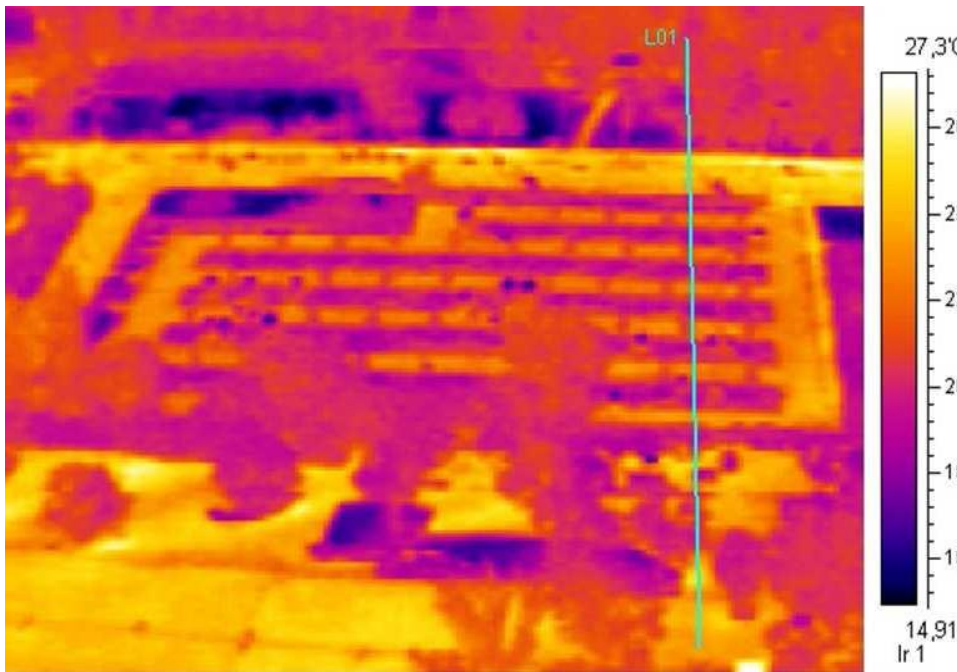
Remote sensing vegetacije: Emitovanje toplote

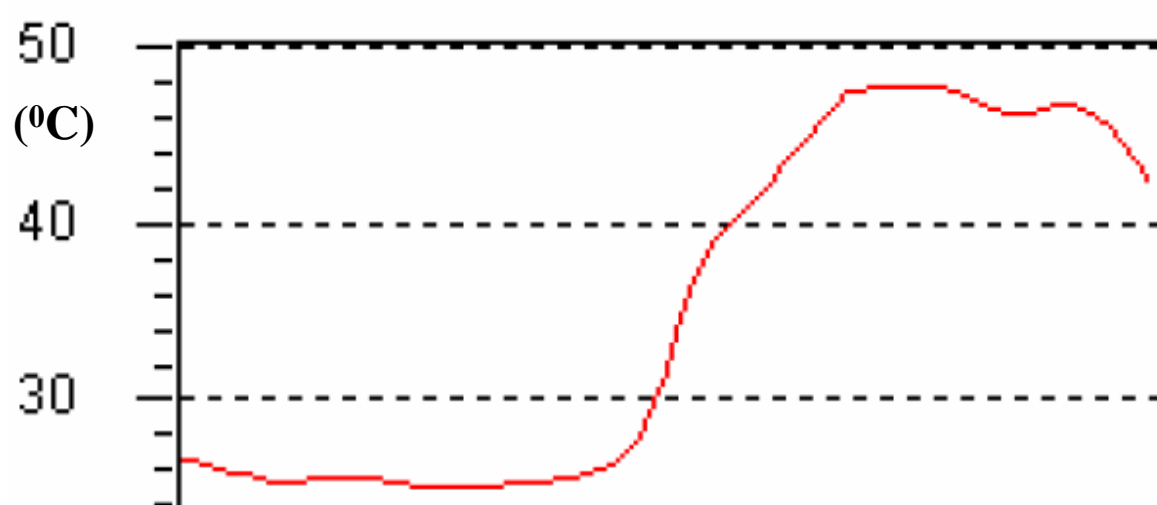
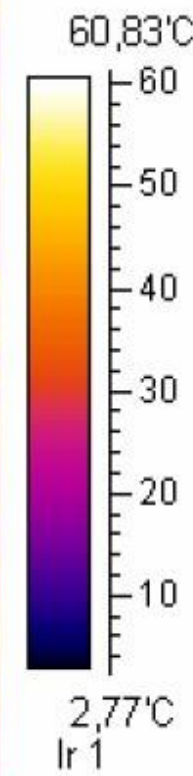
Detekcija stresa izazvanog sušom kod biljaka merenjem temperature lista





Temperatura parking mesta Alte Donau, Beč





Max: 47,8

Min: 25

LA1

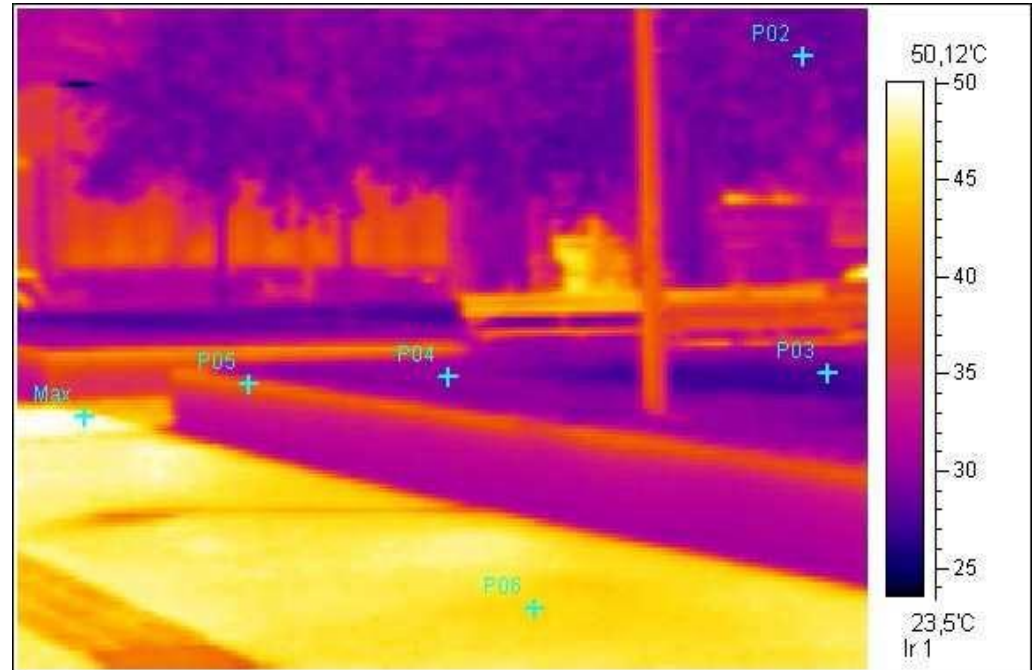
Površinska temperatura

Stara zgrada sa krovom
prekrivenim biljkama

Termalna fotografija

Schlesinger Platz

10.6.2008, 1300 MEZ



Temperatura na lokacijama označenim plavim krstićima : Max: 50,12°C (Beton, potpuno osvetlje
P02: 30,07°C (Krošnja drveta),
P03: 28,58°C (Trava, senka)
P04: 31,49°C (Trava, potpuno osvetljeno), P05: 39,03°C (Betonski zid, potpuno osvetljeno)
P06: 45,52°C (Beton, potpuno osvetljeno)

Remote sensing vegetacije: Emitovanje toplote

Detekcija VODNOG STRESA

INDEX VODNOG STRESA BILJKE(CWSI)

$$CWSI = (dT - dTI) / (dT_u - dTI) \quad (2)$$

Gde je,

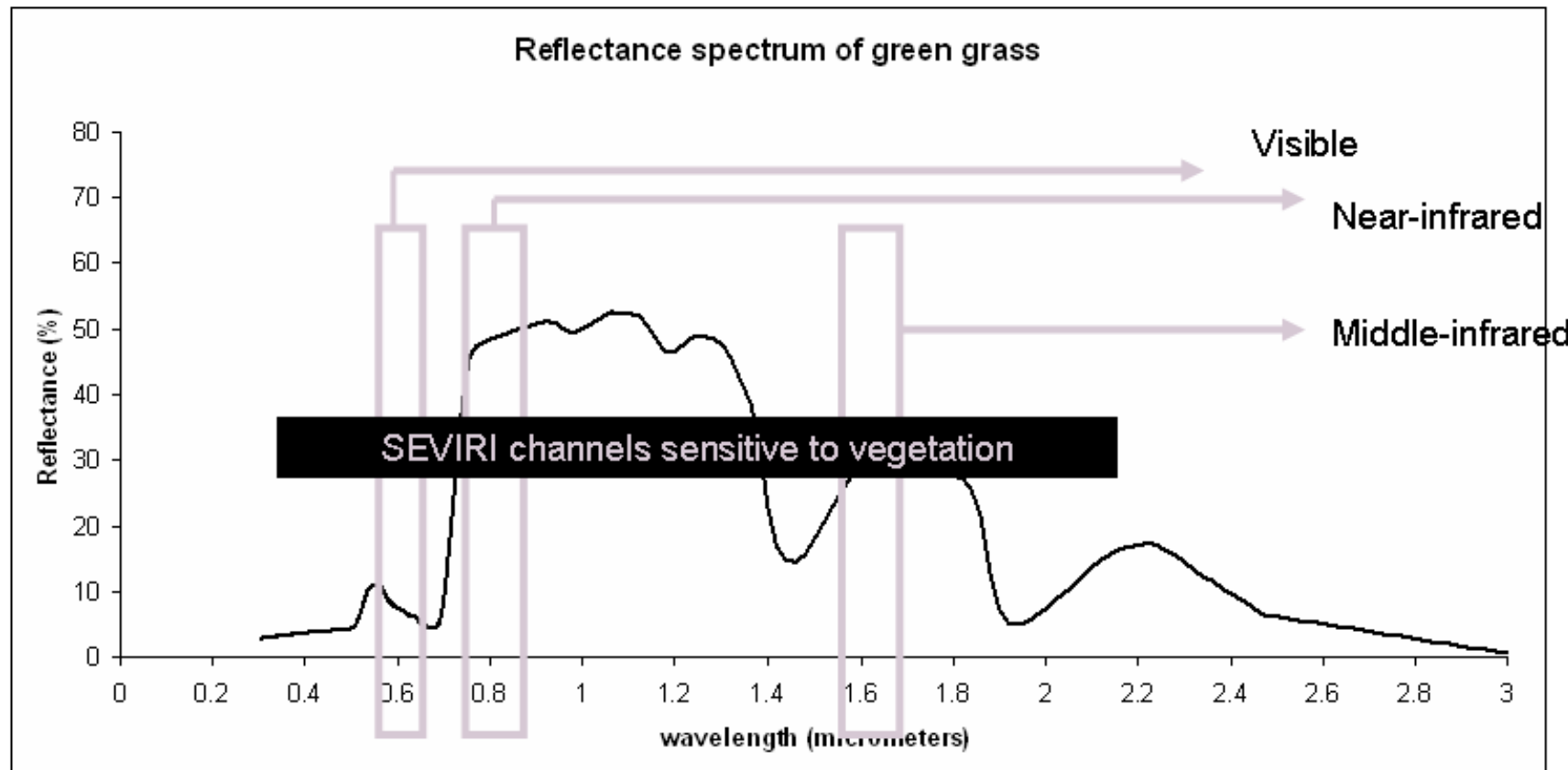
dT je mera razlike između temperature nadzemnog dela biljke i vazduha,

dT_u gornja granica nadzemnog dela biljke minus temperatura vazduha (ne-transpirišuća biljka), i

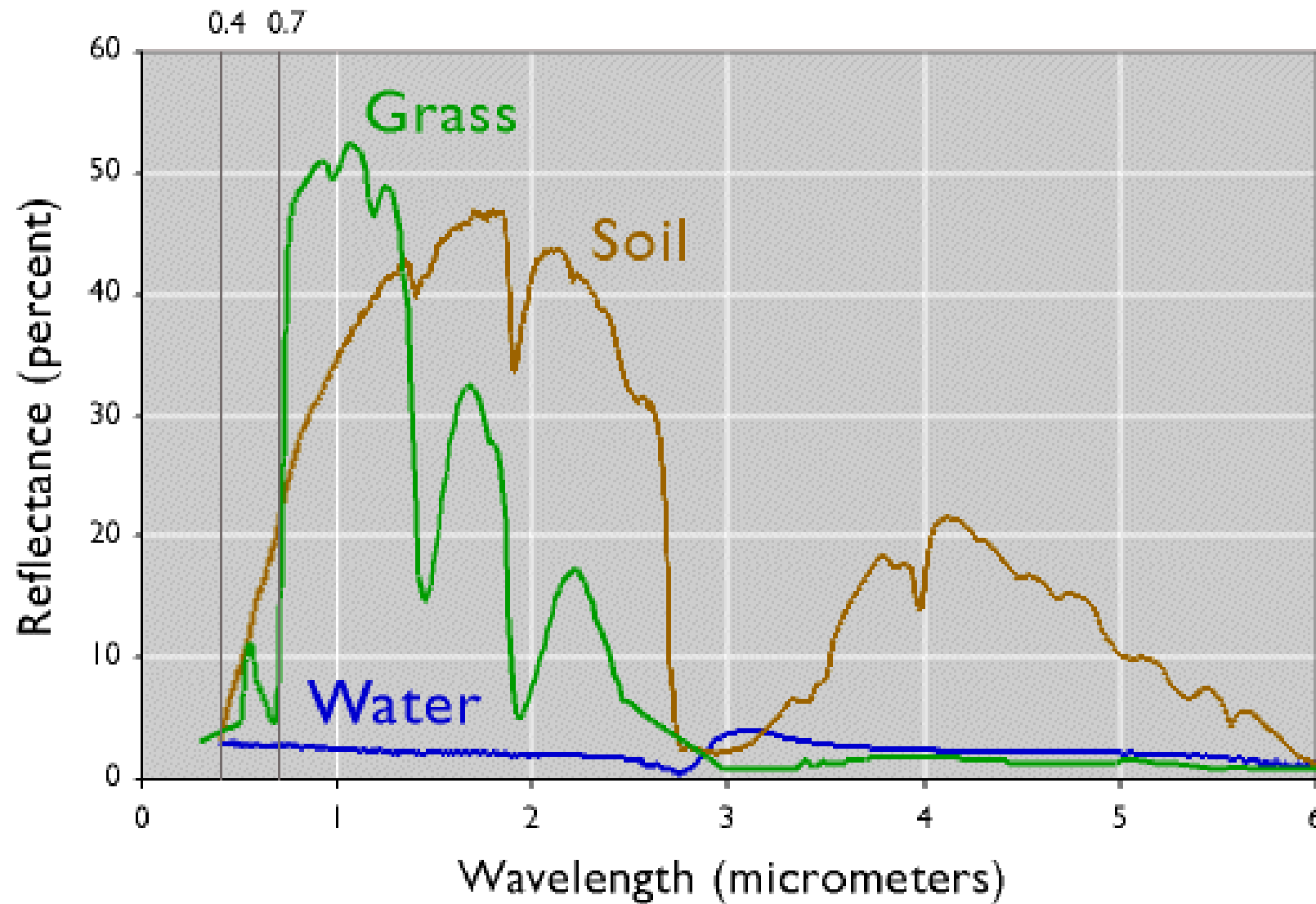
dTI je donja granica nadzemnog dela biljke minus temperatura vazduha (obilno-zalivana biljka).

CWSI vrednost 0 ukazuje da ne postoji vodni deficit, a vrednost 1 predstavlja maksimalni vodni stres. Vodni stres biljke koji ukazuje na potrebu za navodnjavanjem je karakterističan za vrstu i obuhvata činioce kao što su uticaj vodnog stresa na prinos, cenu date vrste i takođe vode. Reginato i Howe (1985) su pokazali da prinos pamuka pokazuje prve znake opadanja kada je prosečan CWSI tokom sezone veći od 0.2.

Remote sensing vegetacije: Spektralna refleksija

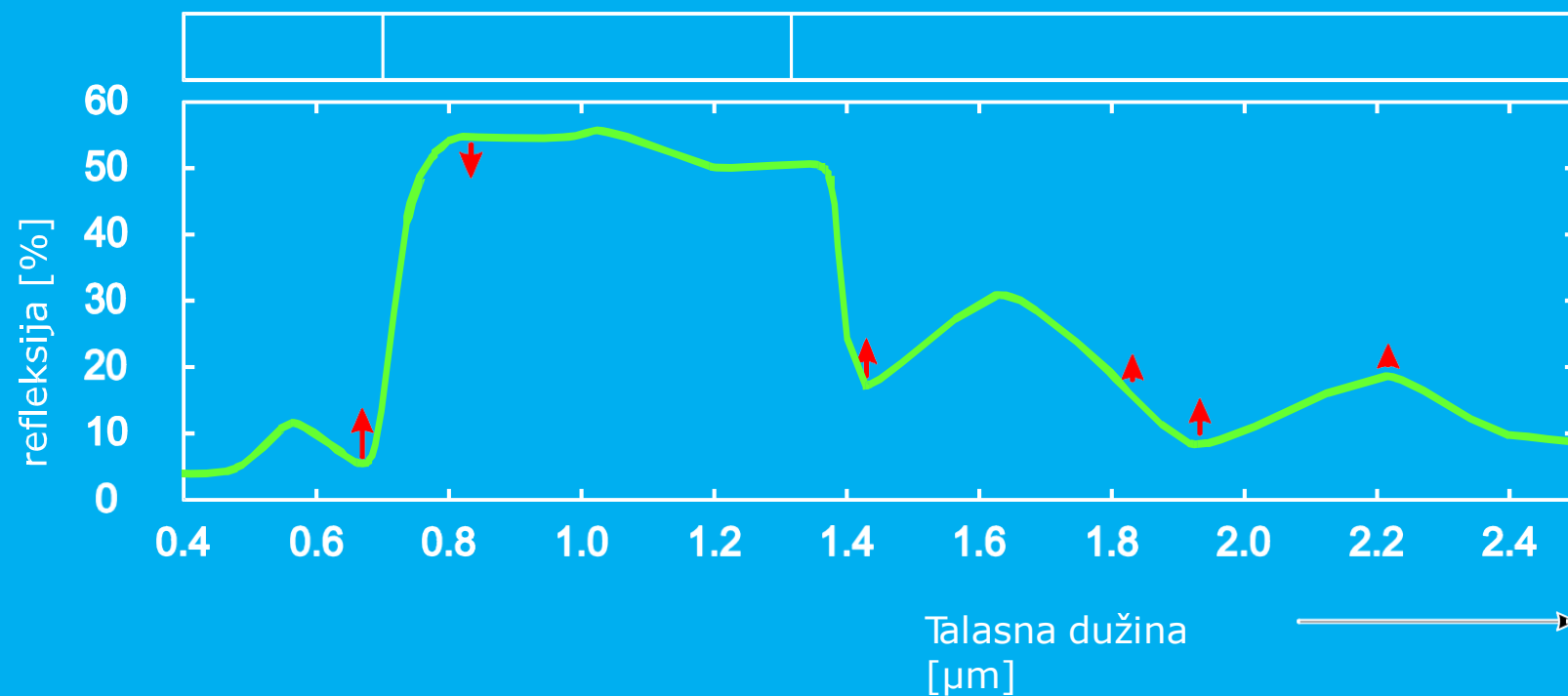


Remote sensing vegetacije: Spektralna refleksija



Remote sensing vegetacije: Spektralna refleksija

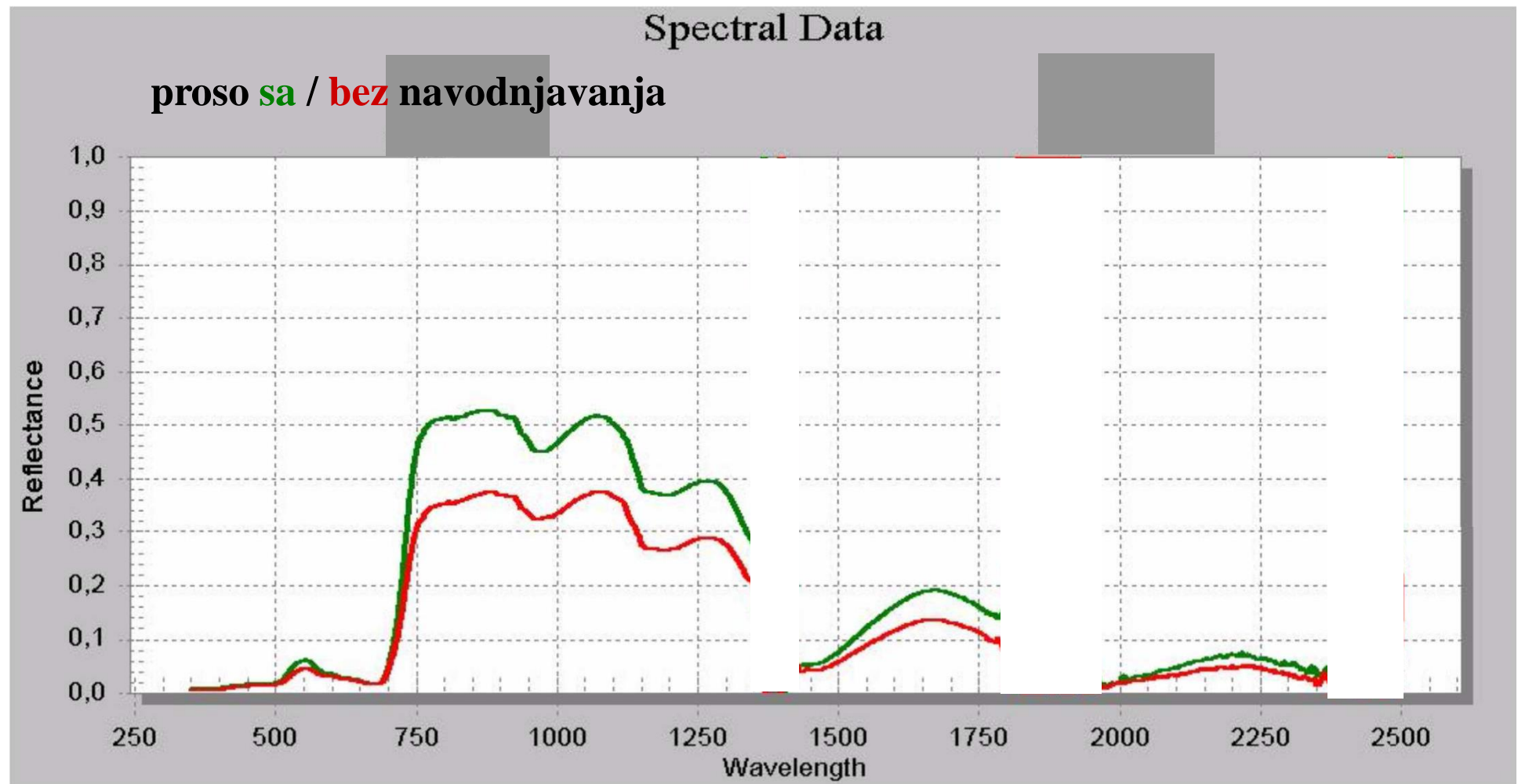
Spektralna refleksija vegetacije







Remote sensing vegetacije: Spektralna refleksija



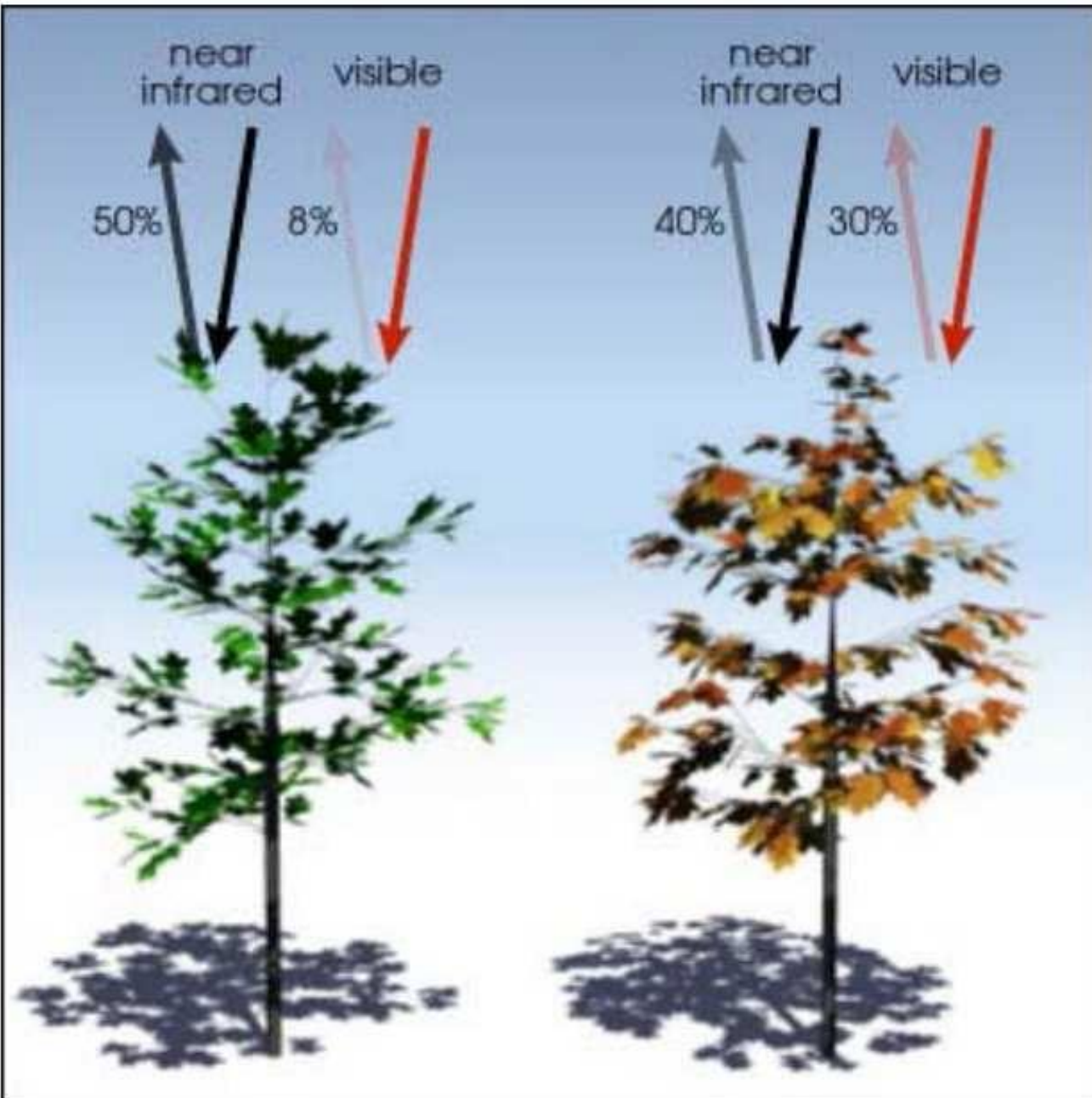
Normalized Difference Vegetation Index NDVI

The generic normalized difference vegetation index (NDVI) has provided a method of estimating net primary production over varying biome types (e.g. Lenney et al., 1996), identifying ecoregions (Ramsey et al., 1995), monitoring phenological patterns of the earth's vegetative surface, and of assessing the length of the growing season and dry-down periods (Huete and Liu, 1994).

$$NDVI = \frac{NIR - red}{NIR + red}$$

Normalizovani diferencni vegetacioni indeks – NDVI

Dao je mogućnost procene primarne produkcije biomase različitih biljnih vrsta, monitoring fenologije i određivanje dužine vegetacije i sušnih perioda.



Jensen
(2007)

$$\frac{(0.50 - 0.08)}{(0.50 + 0.08)} = 0.72$$

$$\frac{(0.4 - 0.30)}{(0.4 + 0.30)} = 0.14$$

Kad je riječ o primjeni satelitskih snimaka do sada su najviše korišćeni produkti snimanja satelita iz generacija Landsat-a 1-7 uz korišćenje ESRII softverskog paketa.. Landsat je jedan od najstarijih satelitskih programa opažanja Zemlje. Prvi Landsat satelit je u orbiti od 1972. dok je poslije njega uspješno lansirano još pet satelita. Na Landsatu 7, posljednjem u ovoj seriji, ETM+ (Enhanced Thematic Mapper) senzor obezbjeđuje 7 band-ova (talasnih područja) multi-spektralnih podataka u 30 metarskoj rezoluciji, plus jedan panhromatski band na 15 m, pri širini zahvata od 183 km na površini Zemlje.

Remote sensing vegetacije: Spektralna refleksija

Advanced Very High Resolution Radiometer

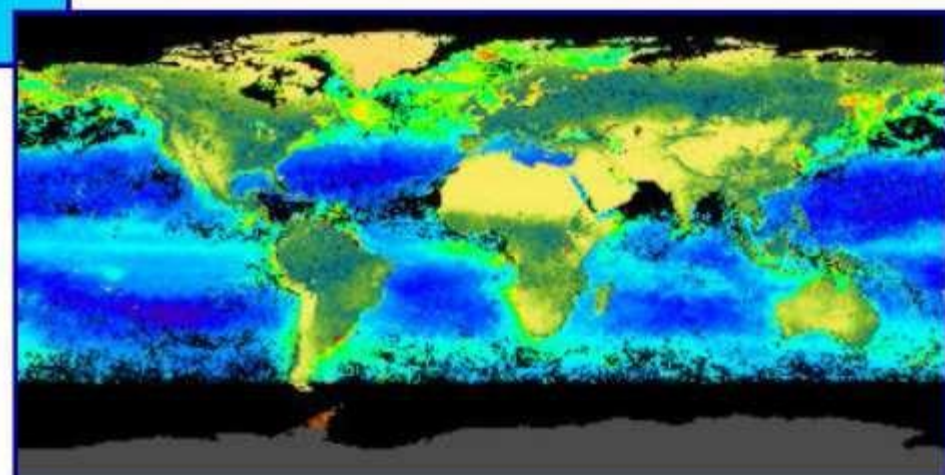
AVHRR

Jensen (2007)



Band	Wavelength (mm)
1	0.58-0.68
2	0.72-1.10
3	3.55-3.93
4	10.5-11.5
5	11.5-12.5

**Normalized Difference
Vegetation Index (NDVI)**



Infrared Index

II

Jensen, 2007

An Infrared Index (II) that incorporates both near and middle-infrared bands is sensitive to changes in plant biomass and water stress in smooth cordgrass studies (Hardisky et al., 1983; 1986): Healthy, mono-specific stands of tidal wetland such as *Spartina* often exhibit much lower reflectance in the visible (blue, green, and red) wavelengths than typical terrestrial vegetation due to the saturated tidal flat understory. In effect, the moist soil absorbs almost all energy incident to it. This is why wetland often appear surprisingly dark on traditional infrared color composites.

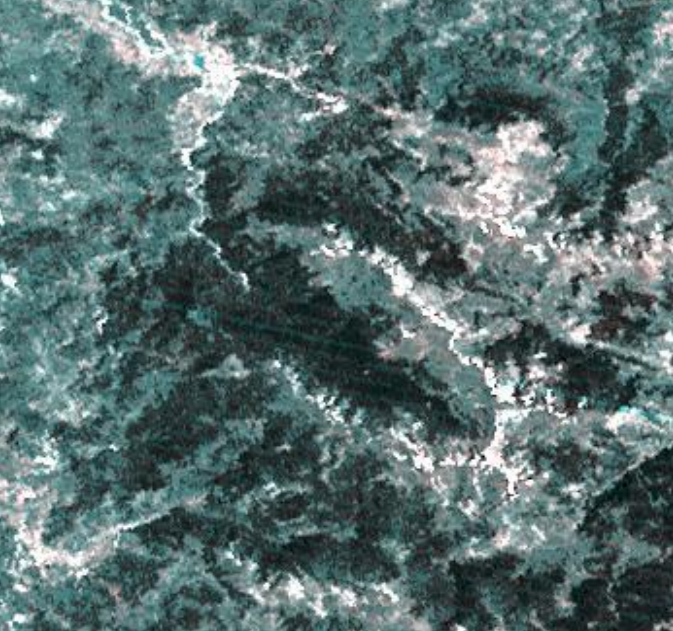
$$II = \frac{NIR_{TM\ 4} - MIR_{TM\ 5}}{NIR_{TM\ 4} + MIR_{TM\ 5}}$$

Infracrveni indeks II koji uključuje infracrveni dio spektra osetljiv je na promjene Biomase i vodni stres.

Od podataka dobijenih obradom satelitskih snimaka za diferenciranje i kartiranje vegetacije često se koristi NDVI faktor- normalizovana razlika indeksa vegetacije(NDVI – Normalized Difference Vegetation Index). NDVI predstavlja razliku između blisko- infracrvene i vidljive refleksije, normalizovane zbirom ovih kanala

$$\text{NDVI} = \frac{(\text{blisko IC kanal} - \text{kanal crvene svjetlosti})}{(\text{blisko IC kanal} + \text{kanal crvene svjetlosti})}$$

Ova formula daje vrijednosti u opsegu $-1.0 \div +1.0$, pri čemu rast pozitivnih vrijednosti ukazuje na prisustvo vegetacije, a negativne vrednosti ukazuju na površine bez vegetacije, kao što su npr.: vodene površine, utrine, led, snijeg i oblaci. Ponekad, kod metode skaliranja usvajaju se vrijednosti od 0 do 200, pri čemu svaka vrijednost predstavlja 1.0 procenat ukupnog mogućeg opsega.



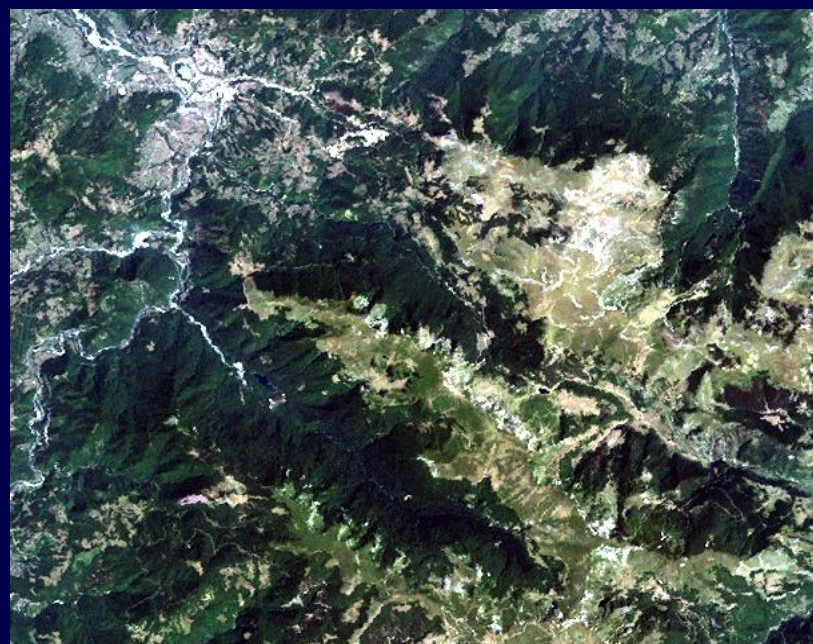
1978



1987



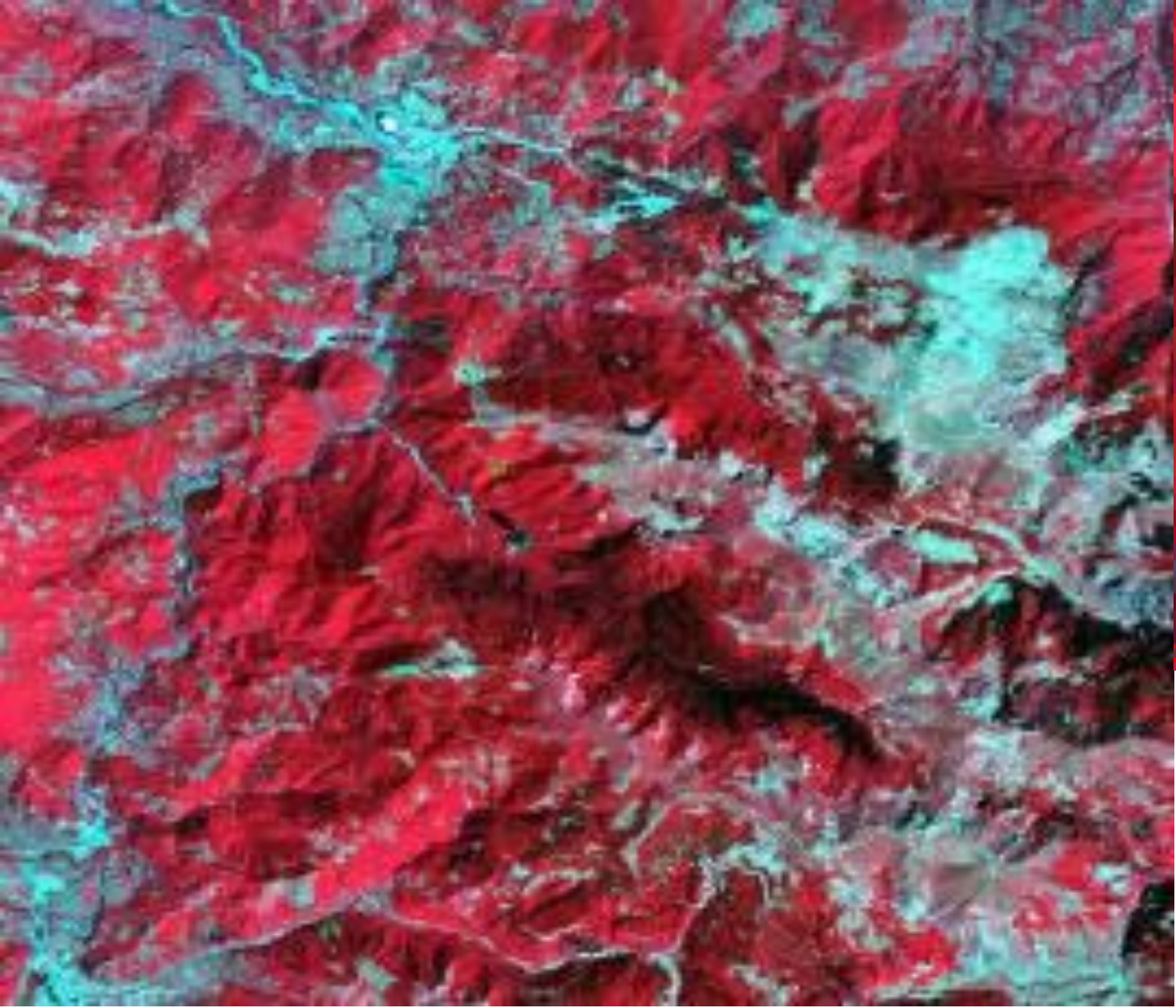
1992



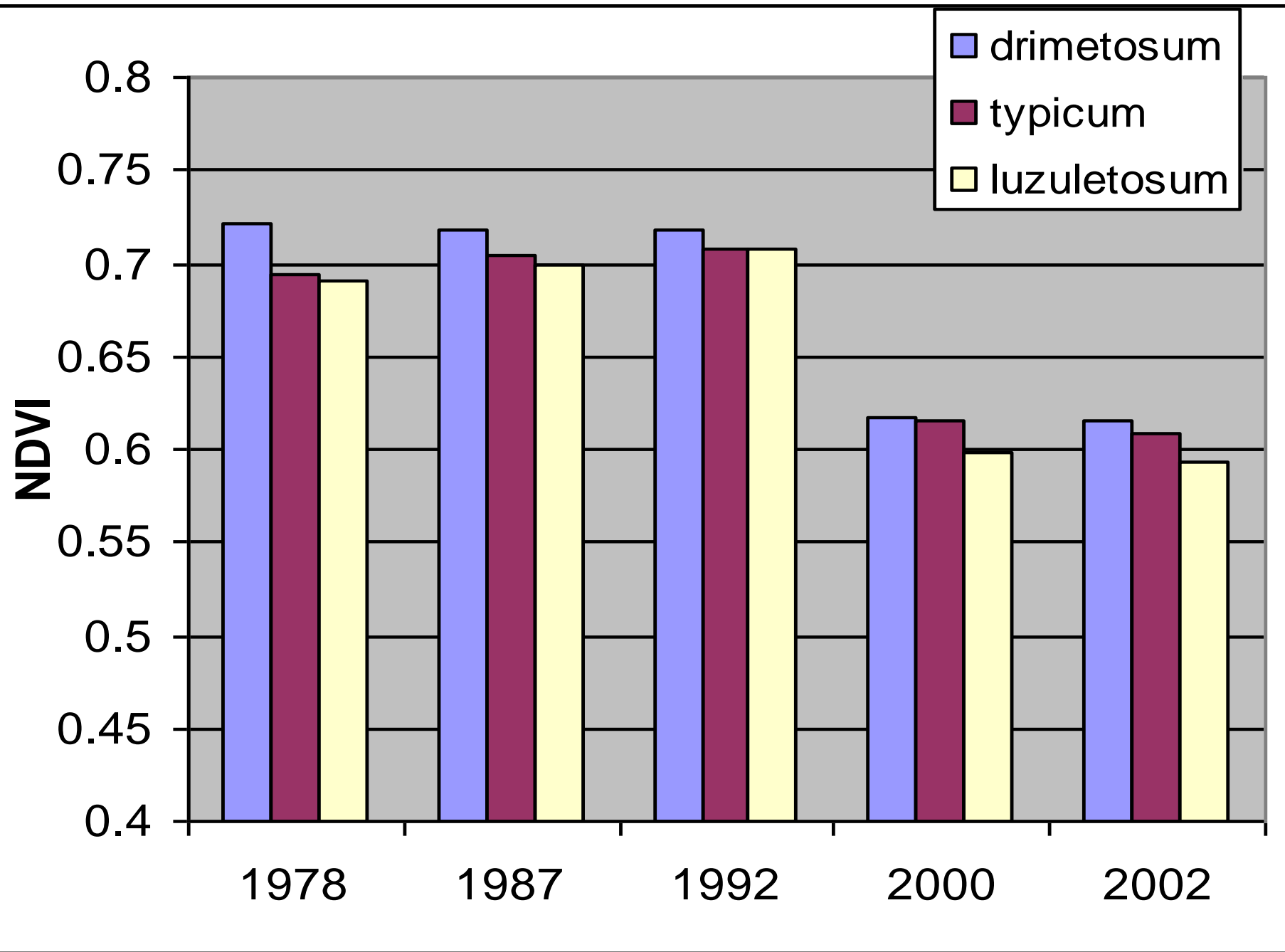
2000

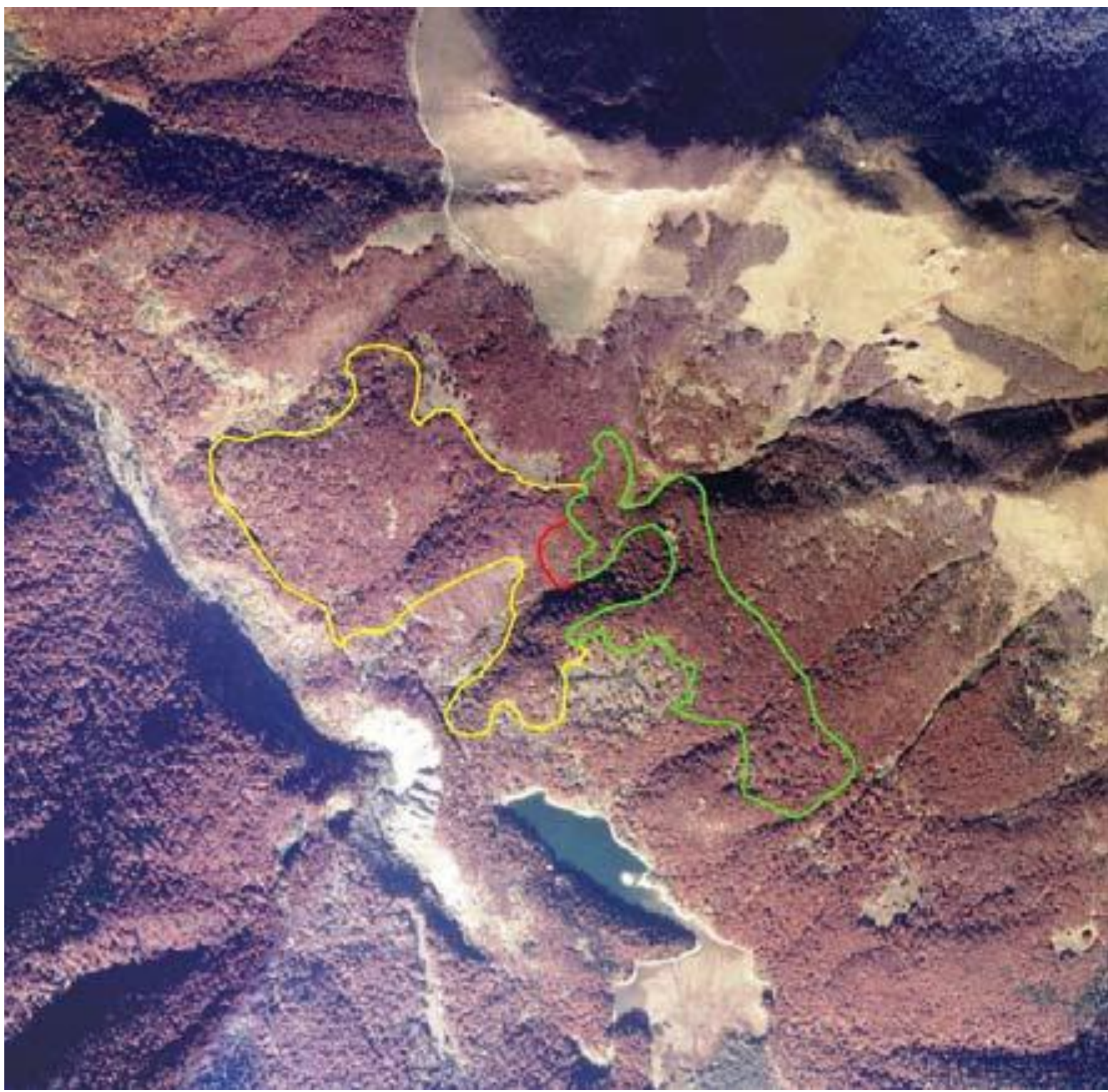


2002

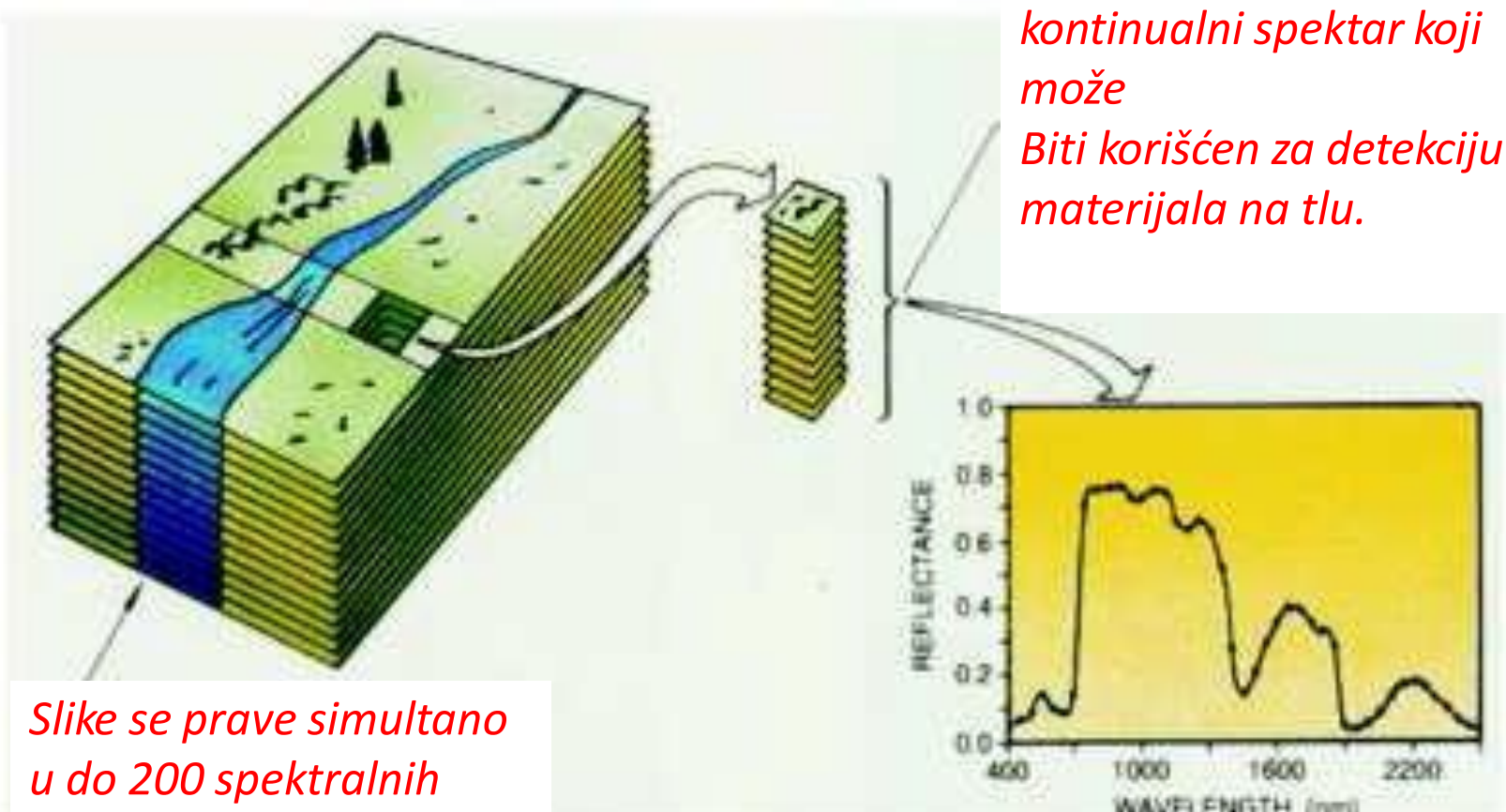


Proučavano područje
nakon promjene
slojeva u vidljivom
spektru i nakon
zumiranja

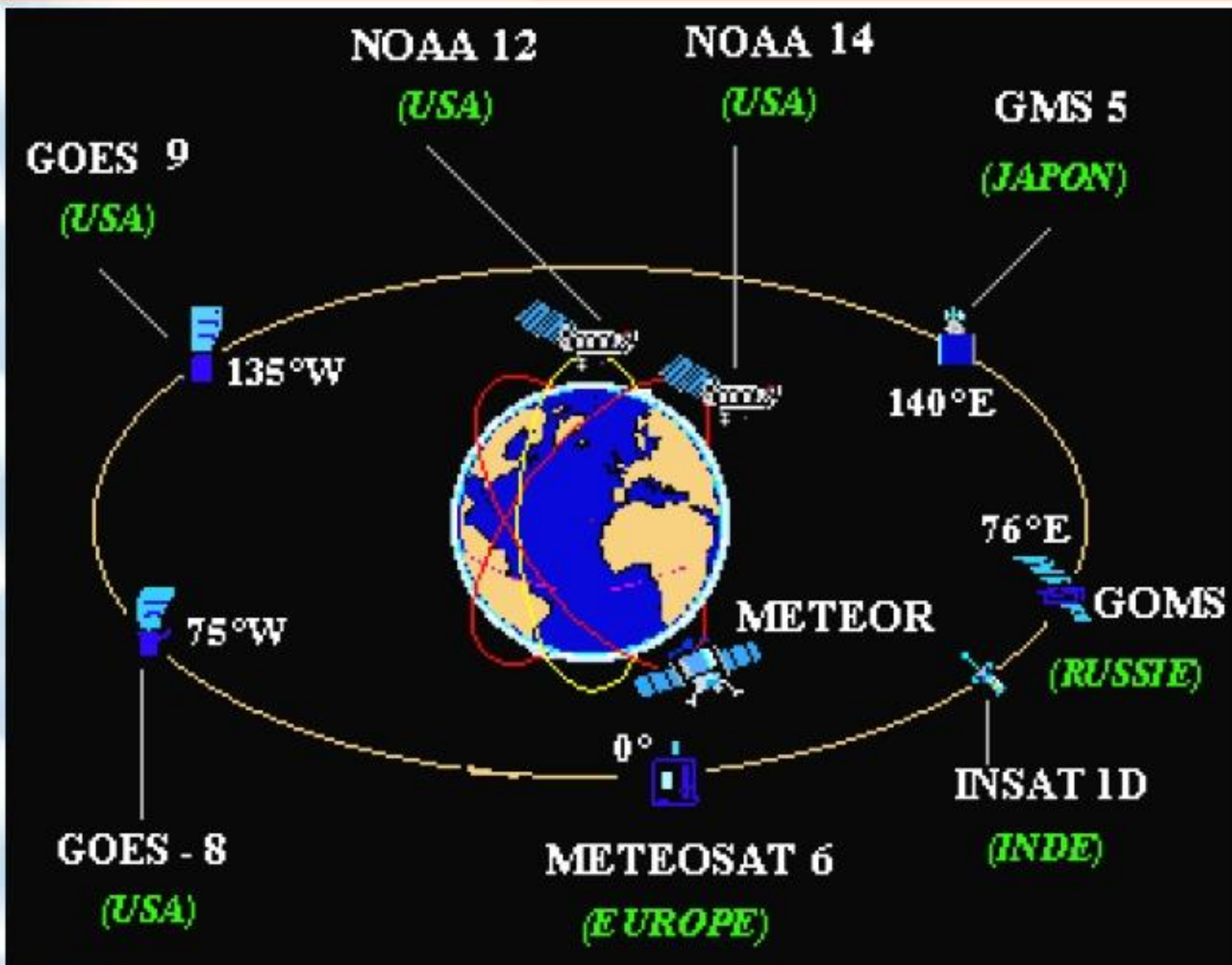




Hyperspectral image data



METEOROLOŠKI SATELITI



Geo-stacionarni sateliti

Nad ekvatorom ($\phi = 0^\circ$)

Udaljeni od Zemljine površine
 ~ 36000 km

snimaju $\sim 1/3$ površine Zemlje

METEOSAT



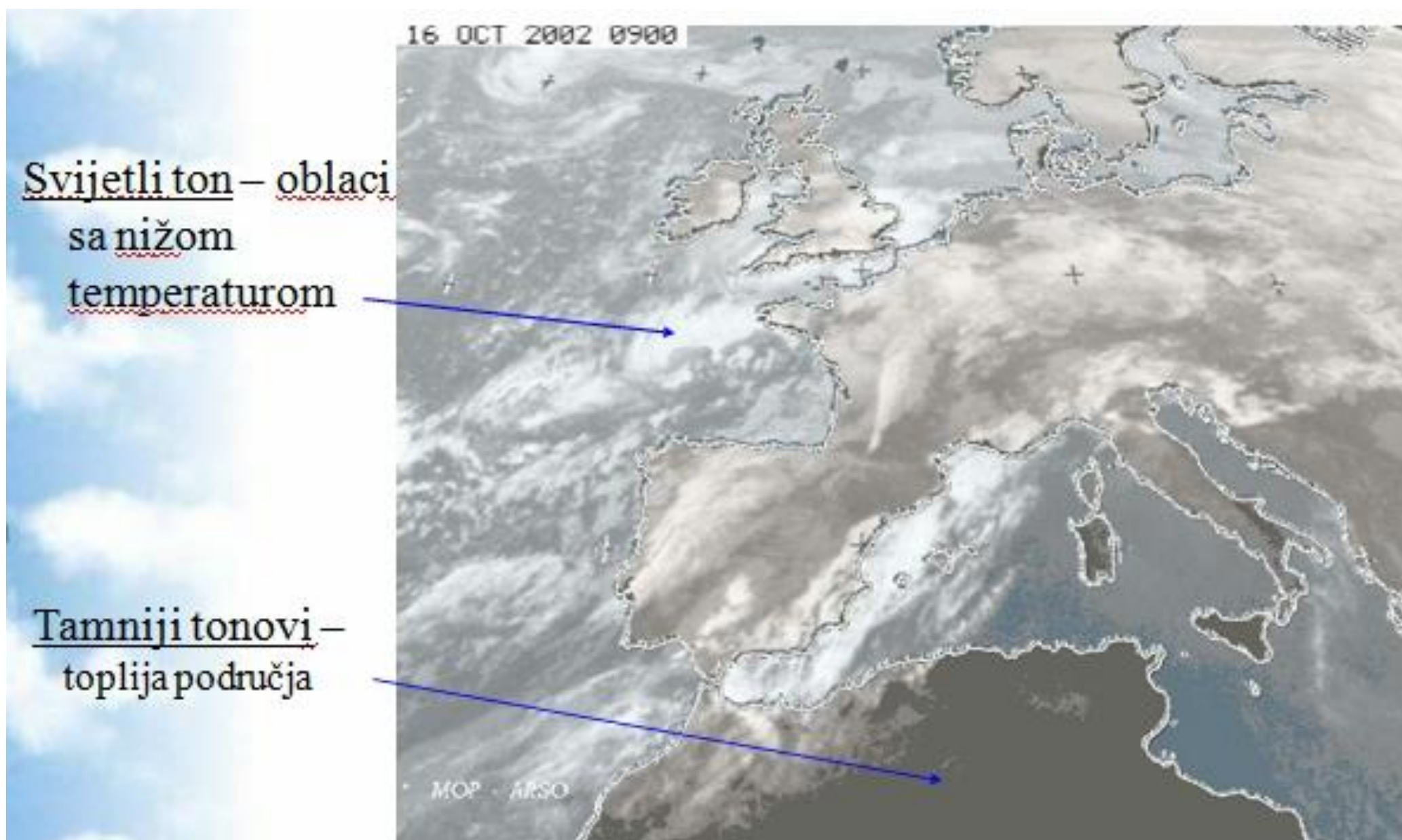
Polarno-orbitalni sateliti

- kruže nad Zemljom na višini cca 900 km (od 800 do 1000 km)
- opseg snimanja nekih 100 km,



**Zemlju okruži 2
puta dnevno**





Slika oblačnosti u IC spektru preuzeta sa geo-stacionarnog vremenskog satelita METEOSAT

METEOROLOŠKI RADARI

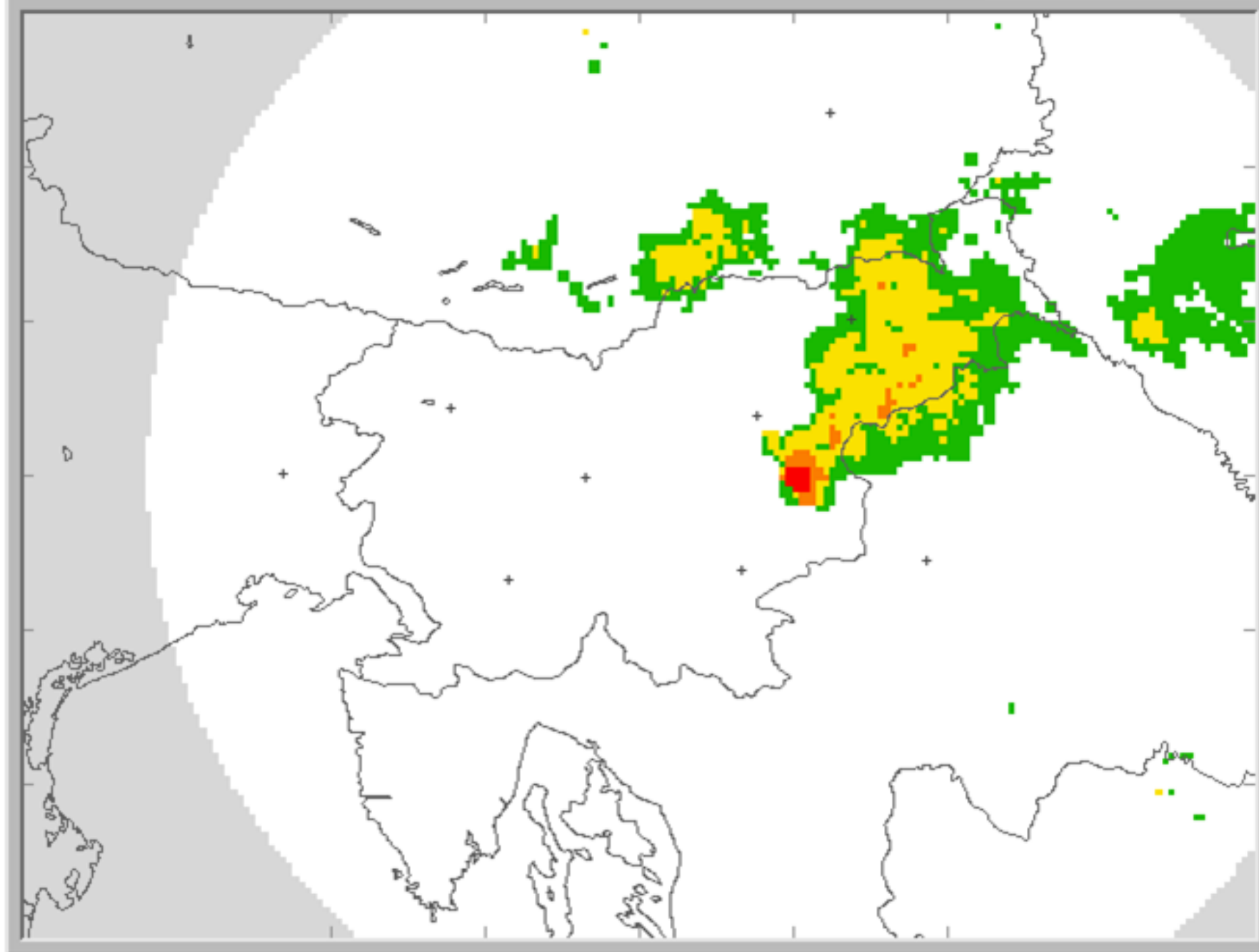


-ocjena količine padavina u okolini
-domet 100 -500 km od radara

ARSO SIRAD
2004-06-18 21:00 UTC

PRECIPITATION
INTENSITY

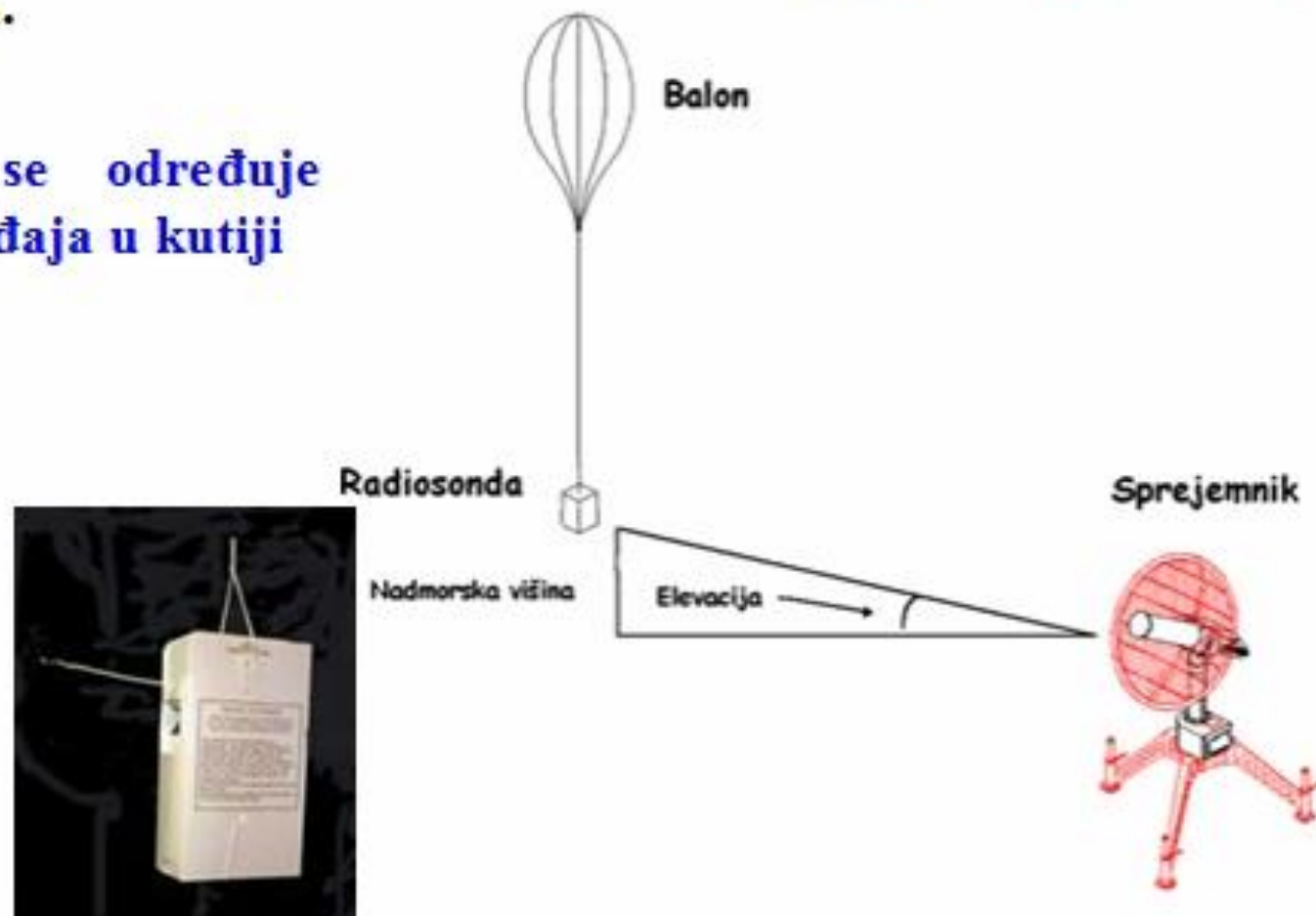
LOW MED HGH EXT



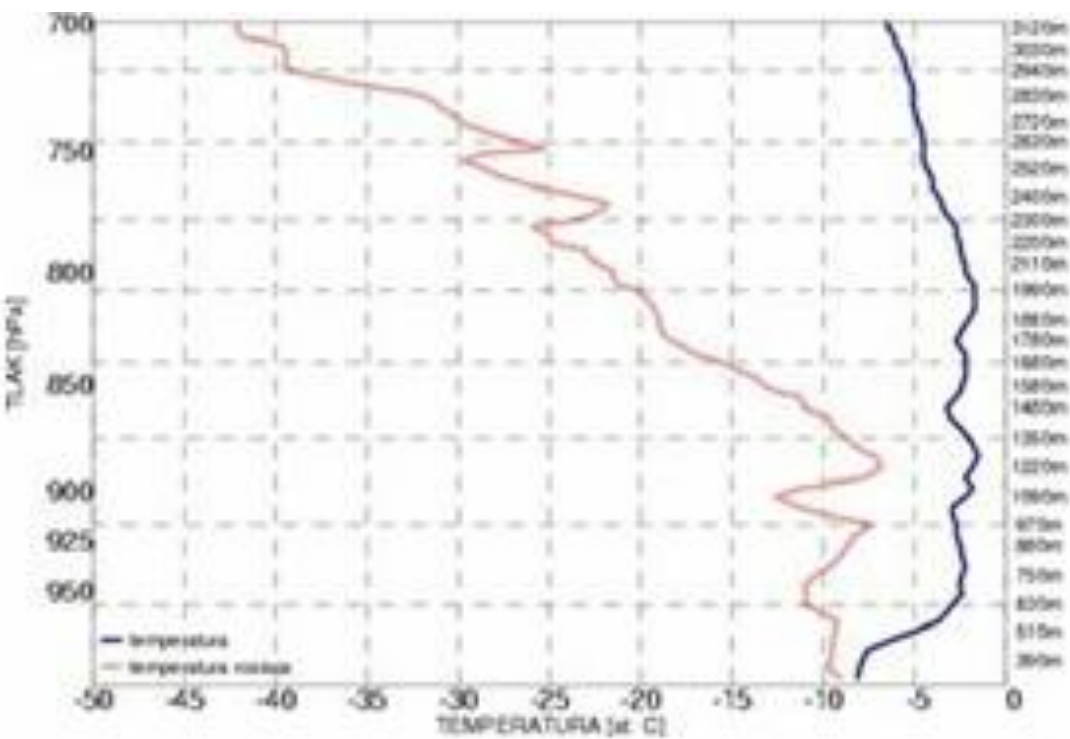
Radiosondažna mjerena

Radiosonda – balon, napunjen helijumom, na koga je zakačena kutija sa instrumentima za mjerjenje vertikalnih profila **vlage**, **temperature** i **vazdušnog pritiska**.

Pozicija sonde se određuje signalom GPS uređaja u kutiji



Primjer radiosondažnog mjerenja





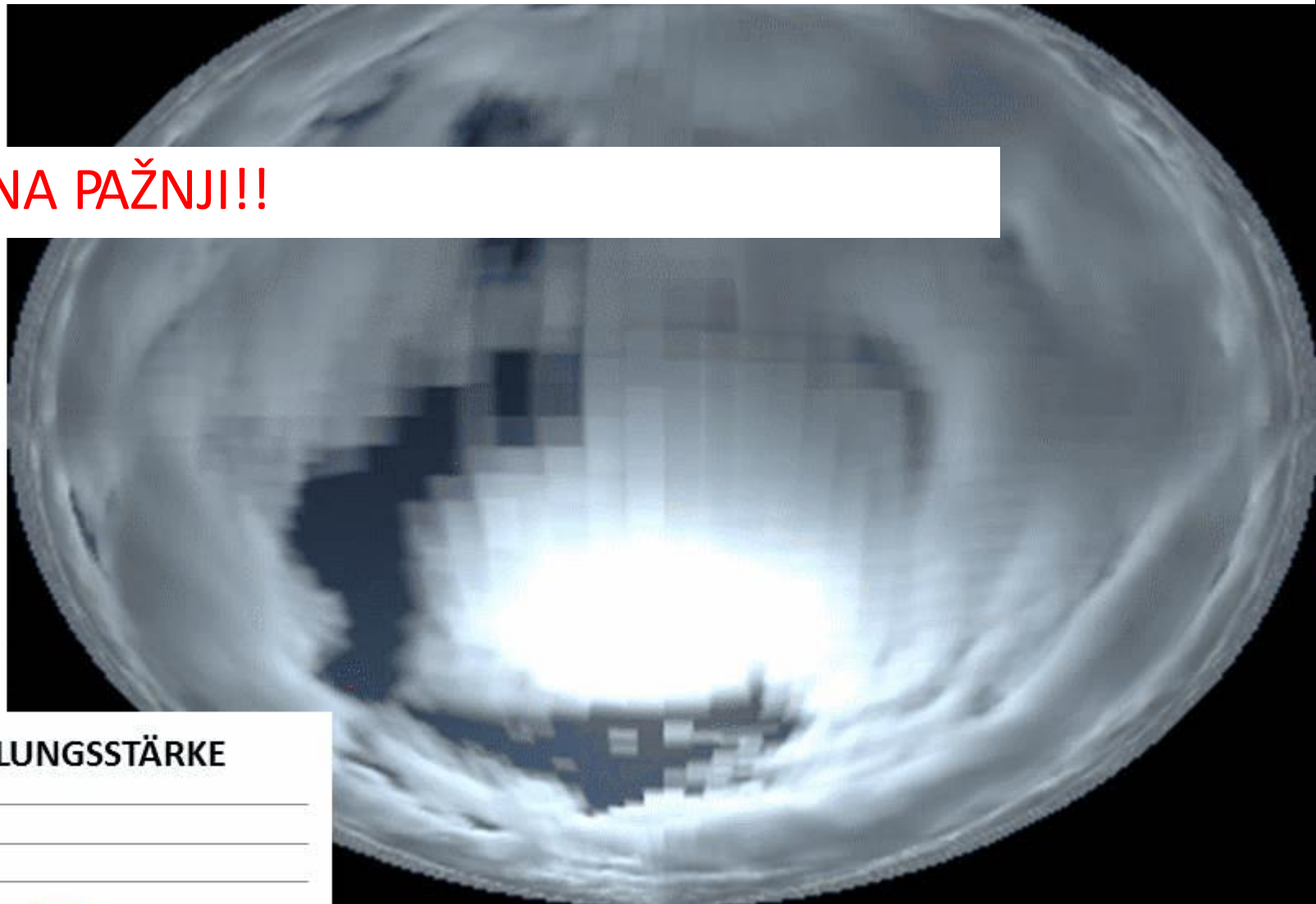
Radiosondažna mjerjenja

Puštanje radiosonde

Radiosondažna stanica



SIMULACIJE MONITORINGA OBLAKA POMOĆU KAMERE „RIBLJE OKO“



HVALA NA PAŽNJI!!

